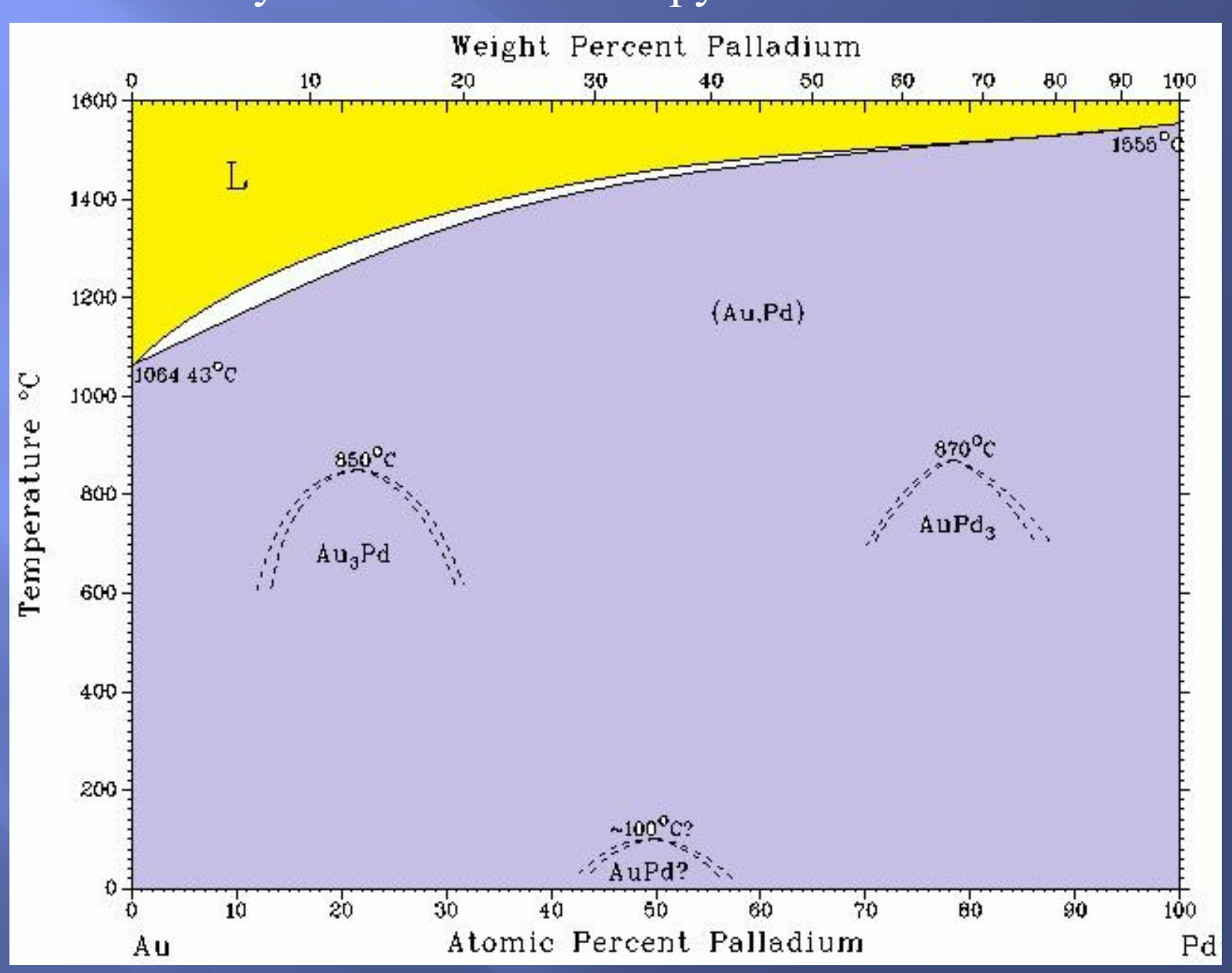
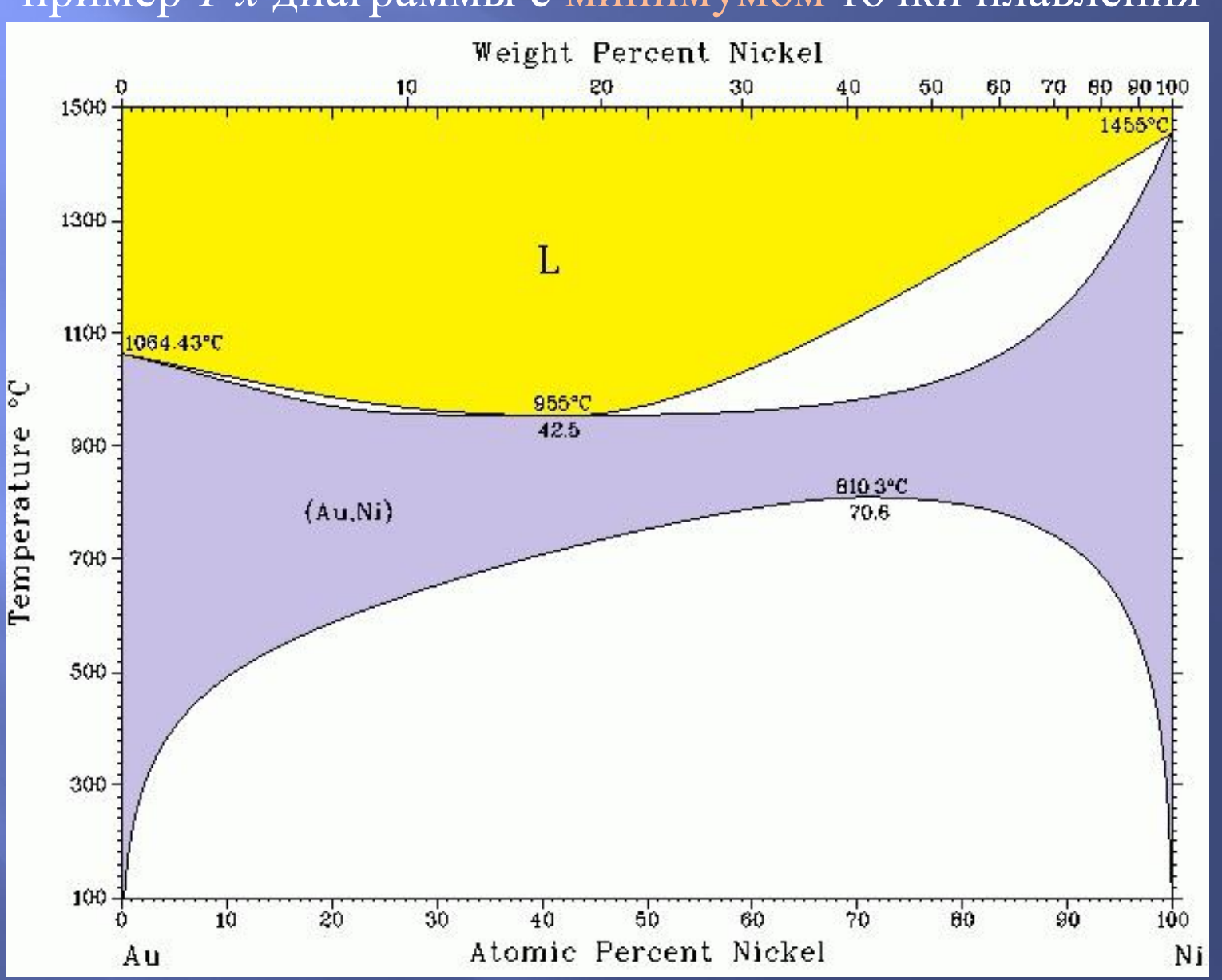
#### Непрерывные твердые растворы случай без точек конгруэнтного плавления



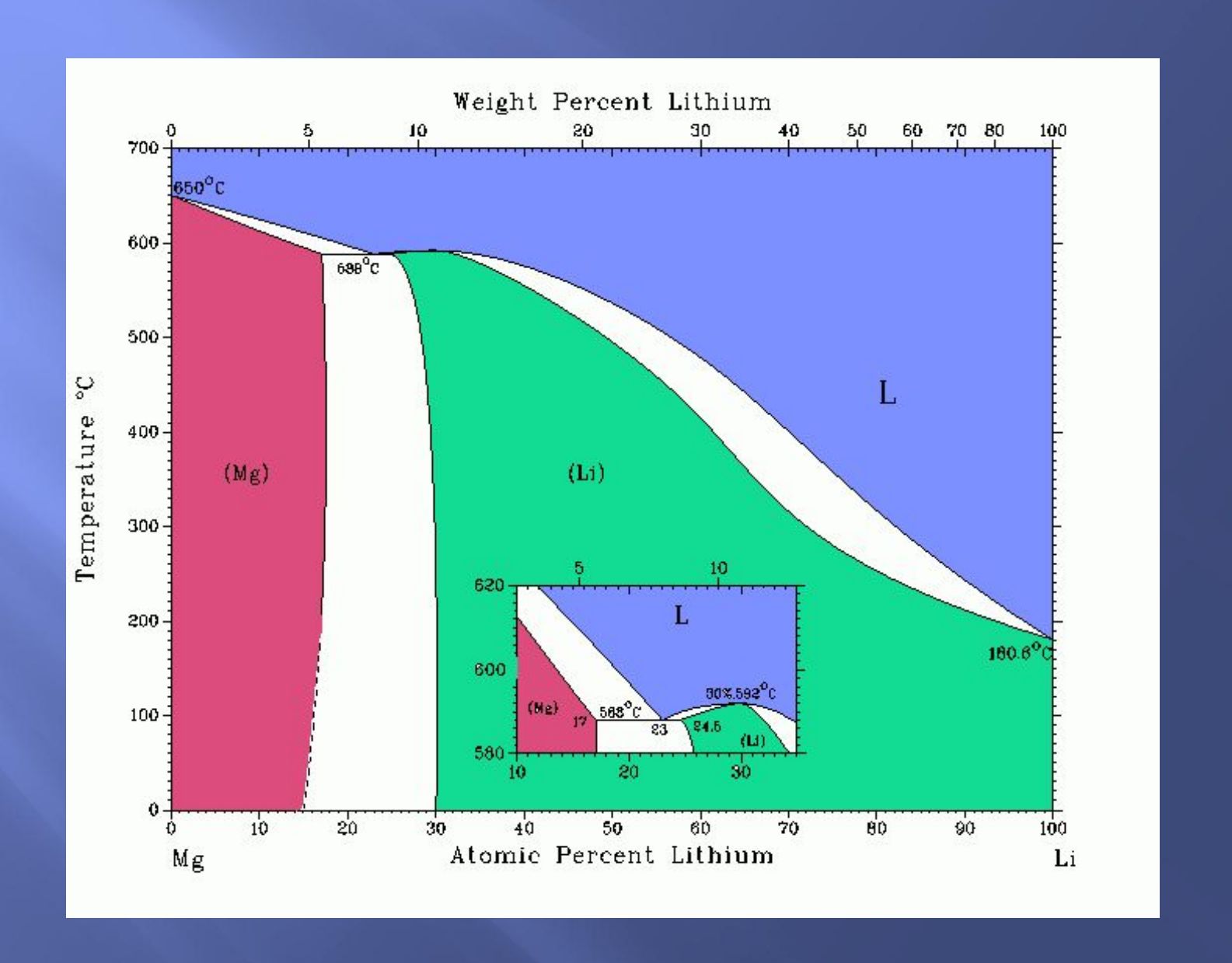
# Требования к компонентам, при соблюдении которых возможно образование HTP:

- - близость в характере химических связей в твердых фазах A и B; если компоненты простые вещества, то близость электронного строения атомов A и B;
- размерный фактор: разница в параметрах кристаллической решетки фаз *A* и *B* не должна превышать 8-12% (иногда до 15%); если *A* и *B* простые вещества, то можно говорить о необходимости соответствия *атомных радиусов* элементов в пределах 8-12 %;
- кристаллические решетки фаз А и В должны быть
   одинакового типа (возможны некоторые редкие исключения.).

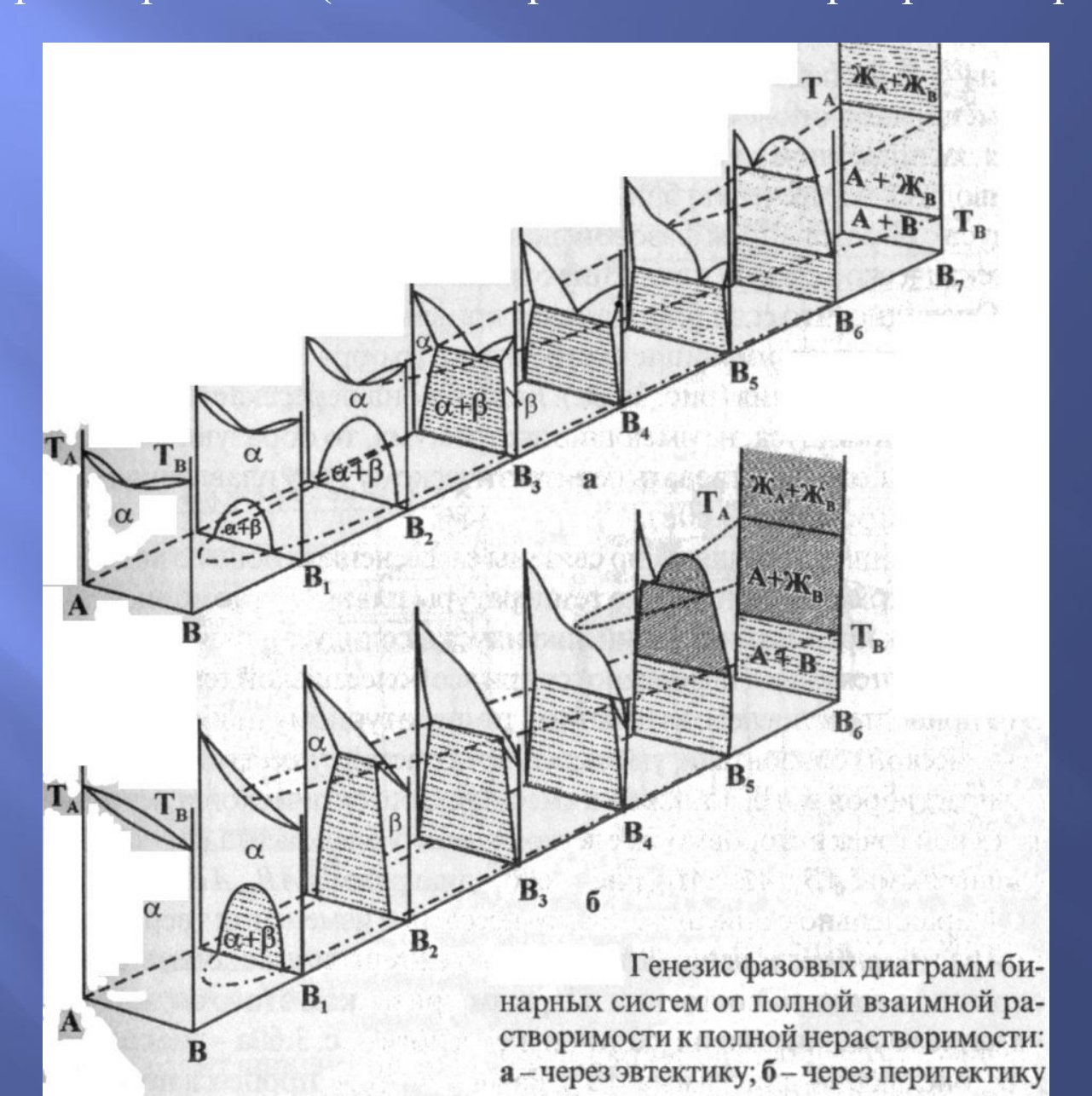
### Непрерывные твердые растворы: пример T-x диаграммы с минимумом точки плавления



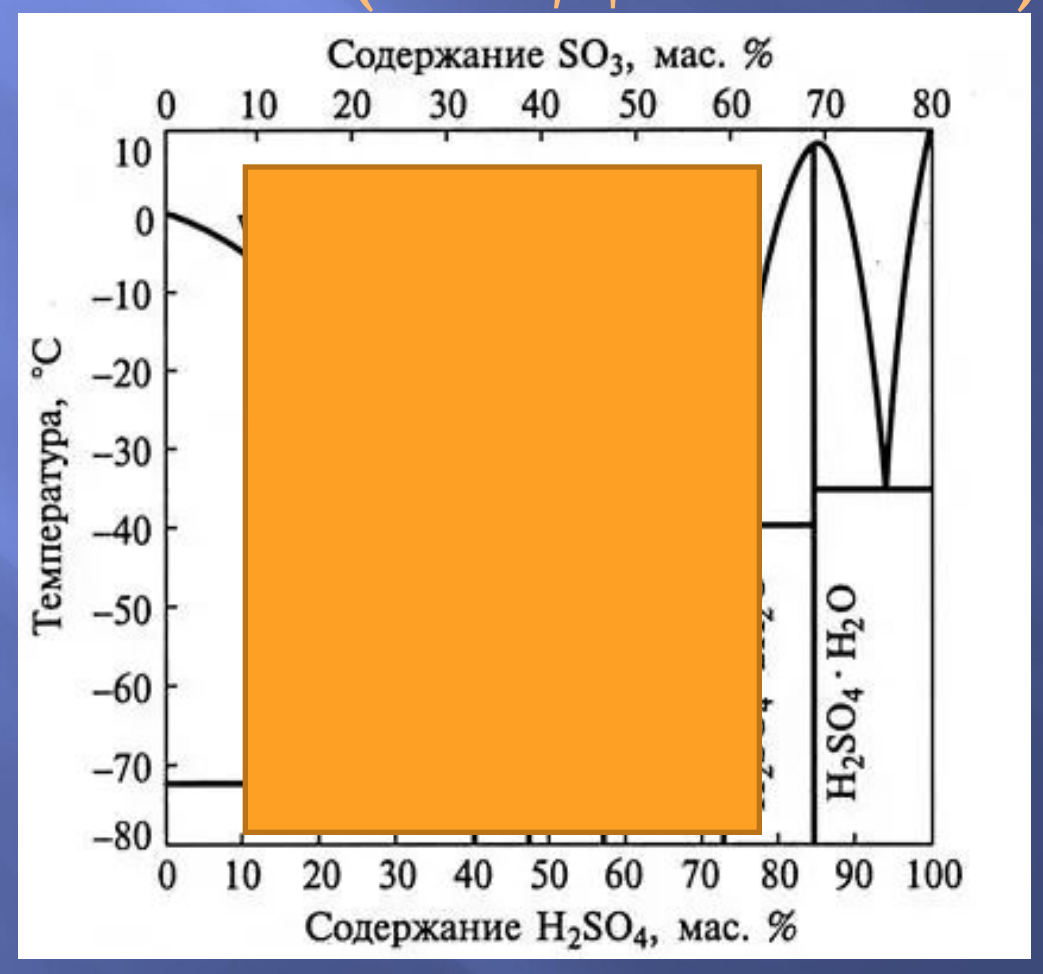
### Широкогомогенные твердые растворы: пример T-x диаграммы с максимумом точки плавления



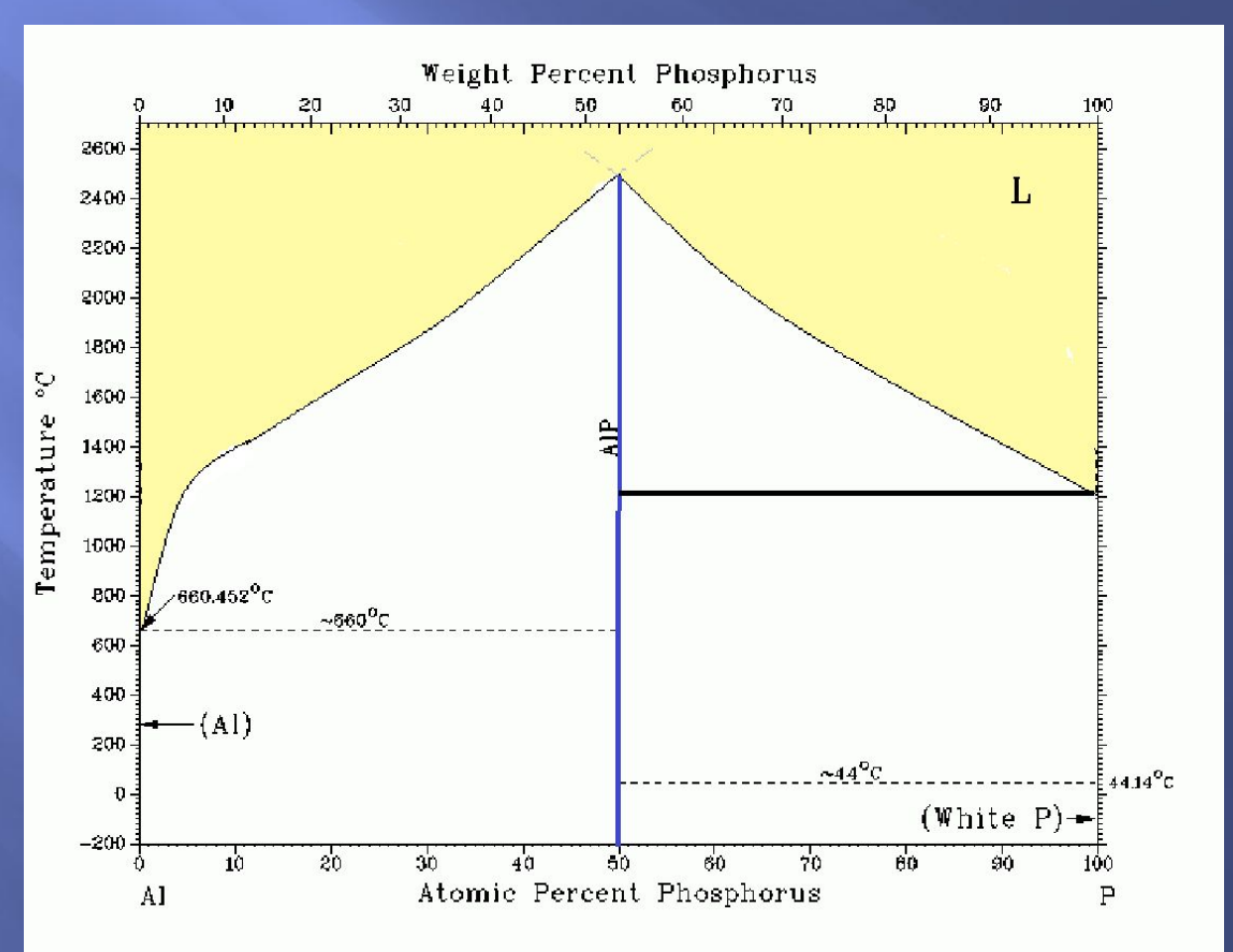
### Генезис ФД от полной нерастворимости (во всех агрегатных состояниях) к полной растворимости (или наоборот – с какого края рассматривать)



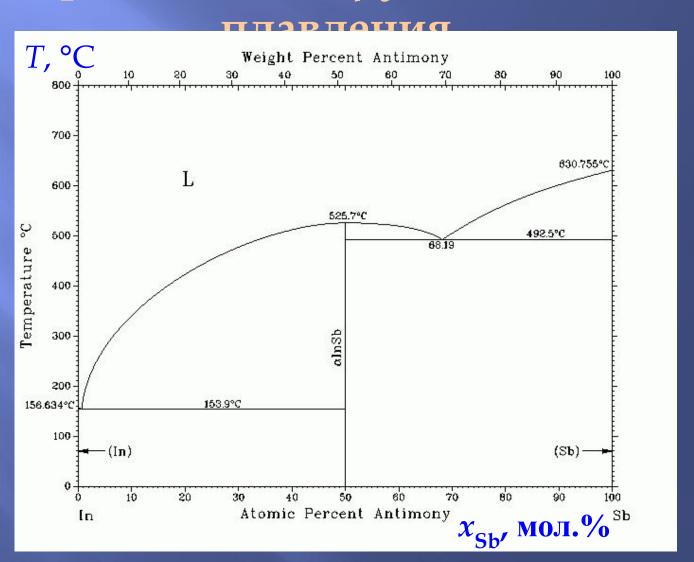
## ДИАГРАММЫ С ОБРАЗОВАНИЕМ ИНДИВИДУАЛЬНЫХ ПРОМЕЖУТОЧНЫХ ФАЗ (СОЕДИНЕНИЙ)



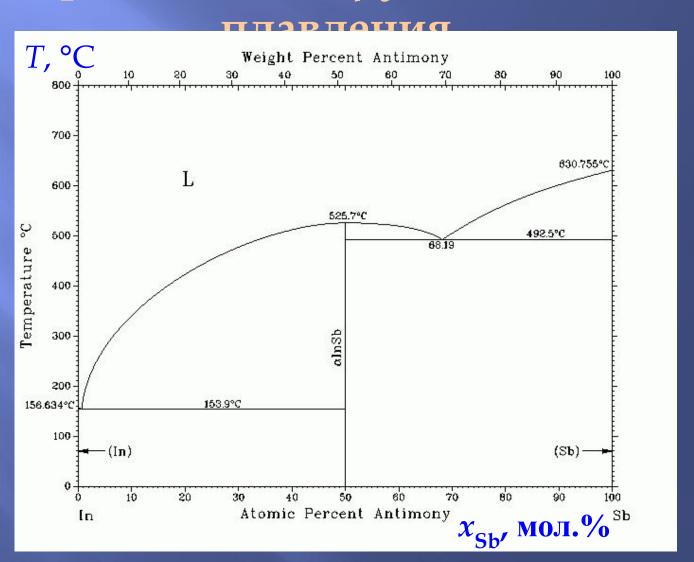
# Диаграммы с образованием индивидуальных промежуточных фаз (соединений)



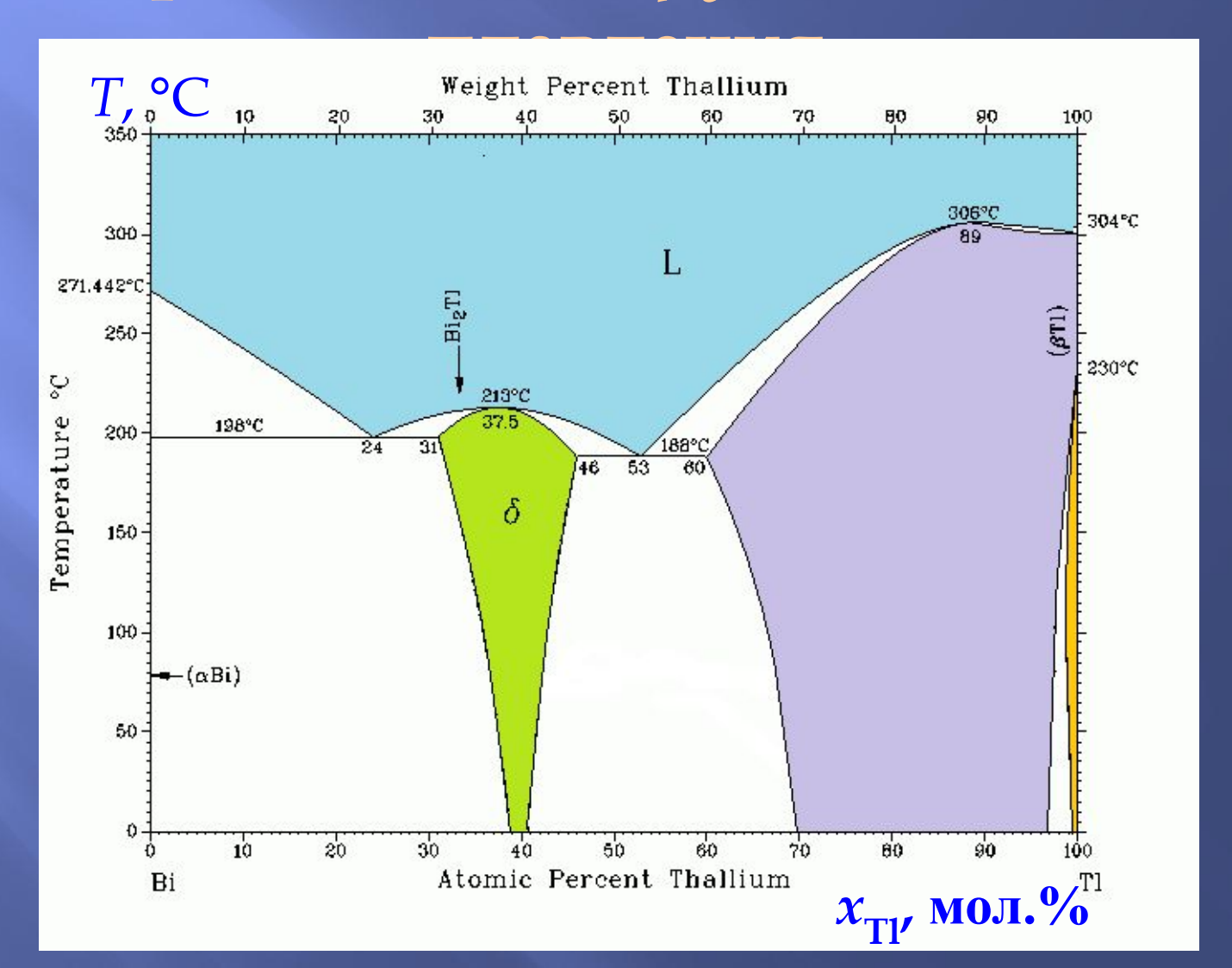
# Дистектический тип образования промежуточной твердой фазы (диаграмма с с конгруэнтным типом



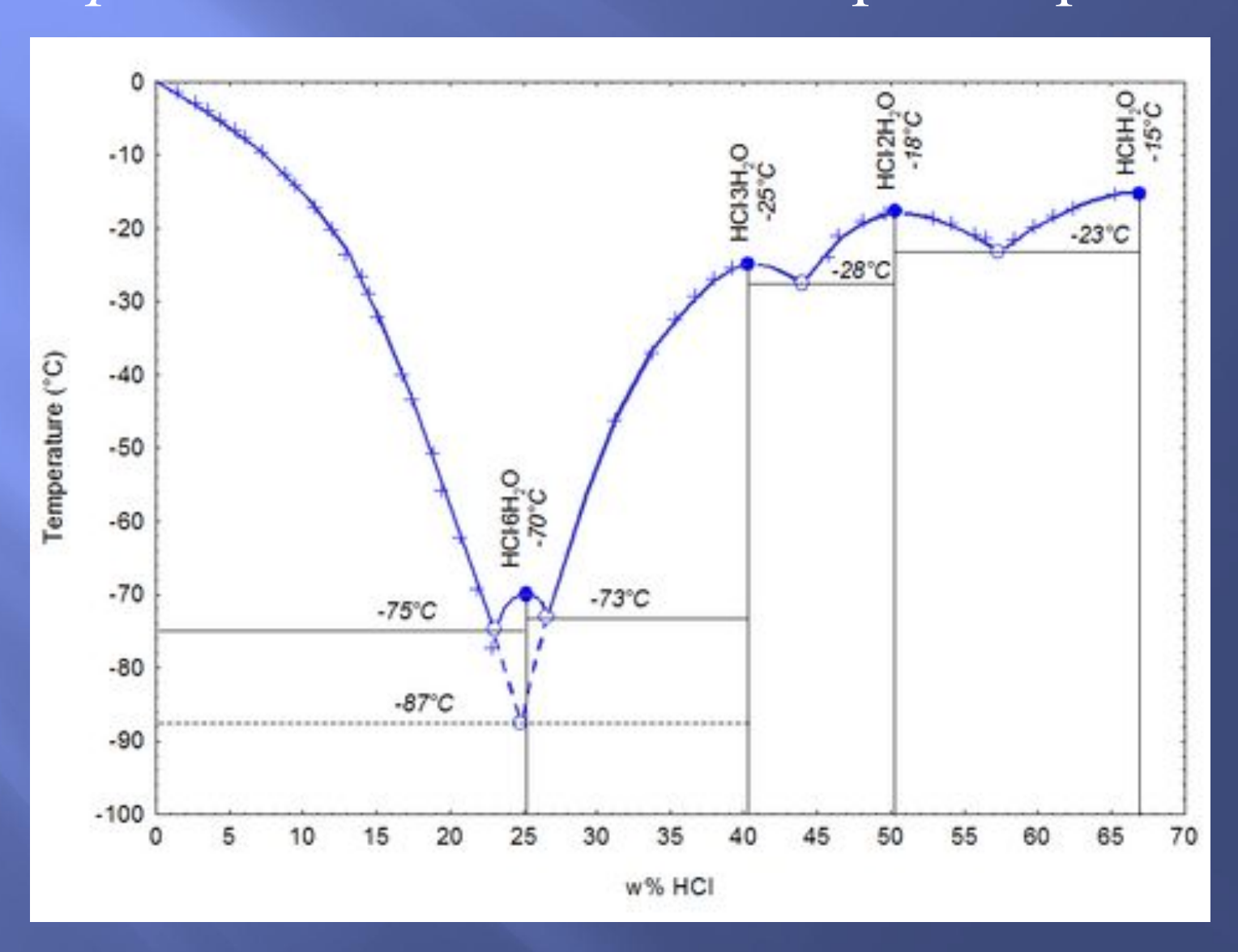
# Дистектический тип образования промежуточной твердой фазы (диаграмма с с конгруэнтным типом



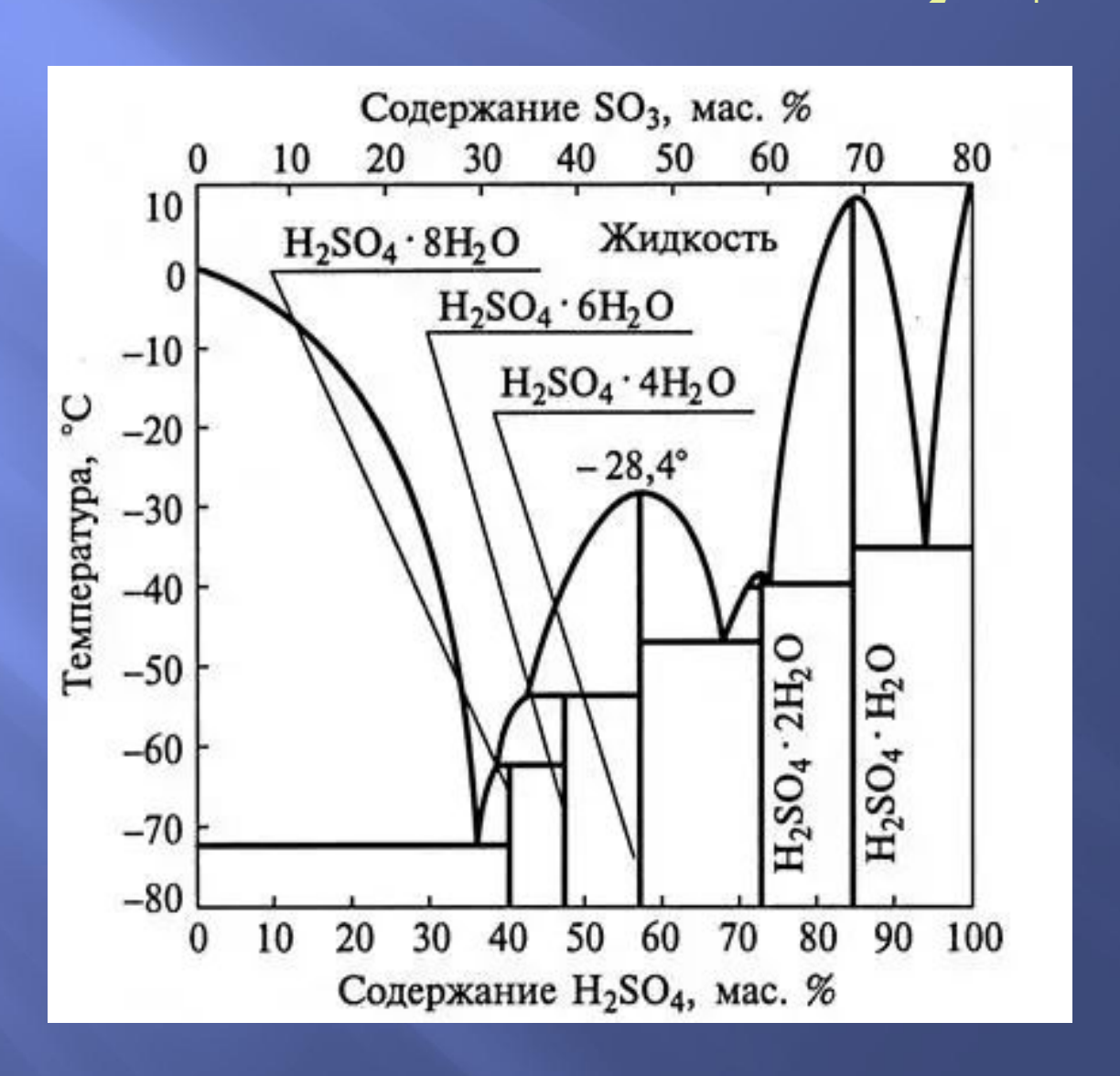
# Дистектический тип образования промежуточной твердой фазы (диаграмма с с конгруэнтным типом



## Образование индивидуальных промежуточных фаз в системе "вода – хлороводород"

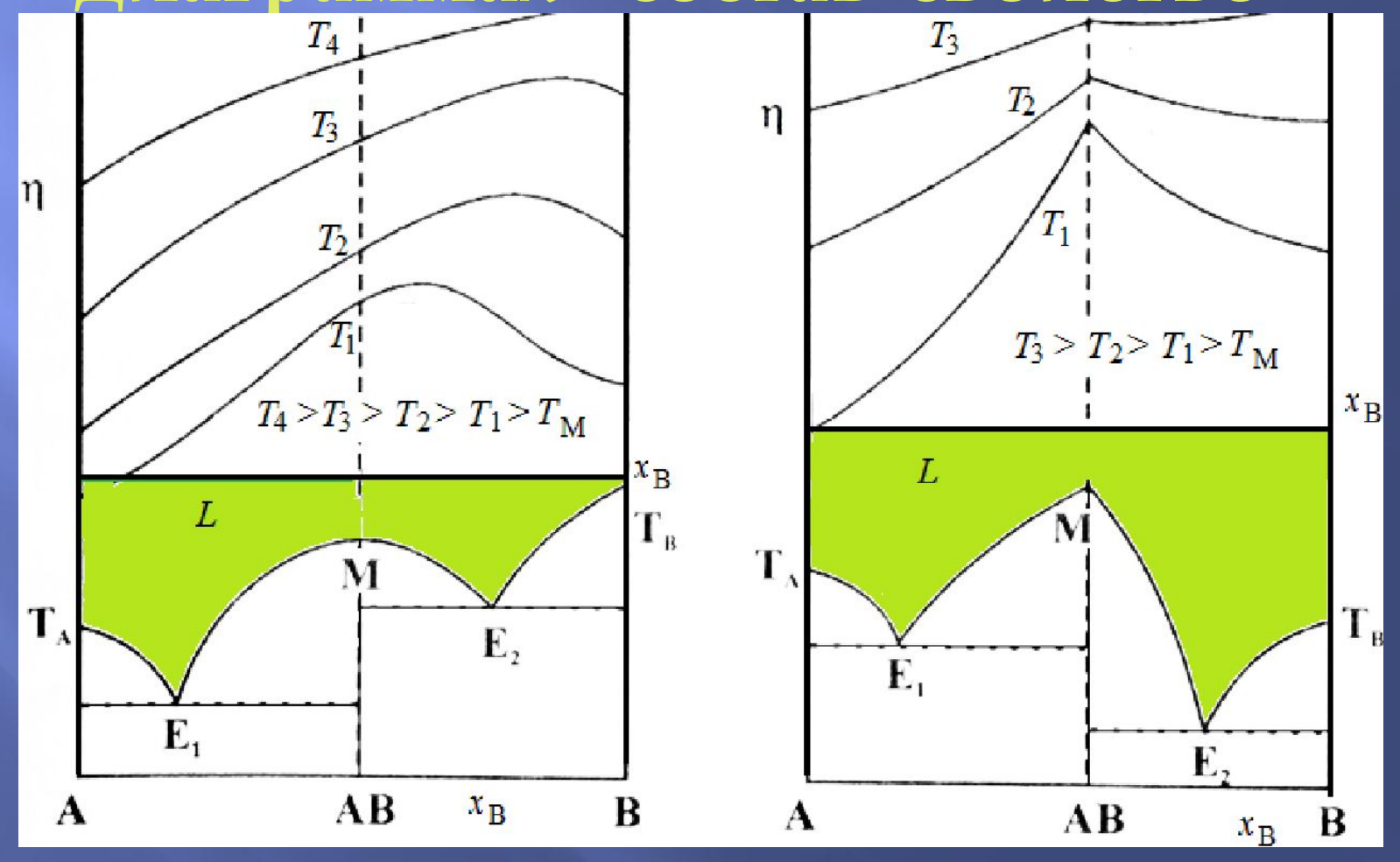


### *Т-х* диаграмма системы $H_2O-H_2SO_4$ в координатах температура — массовая доля (%) $H_2SO_4$



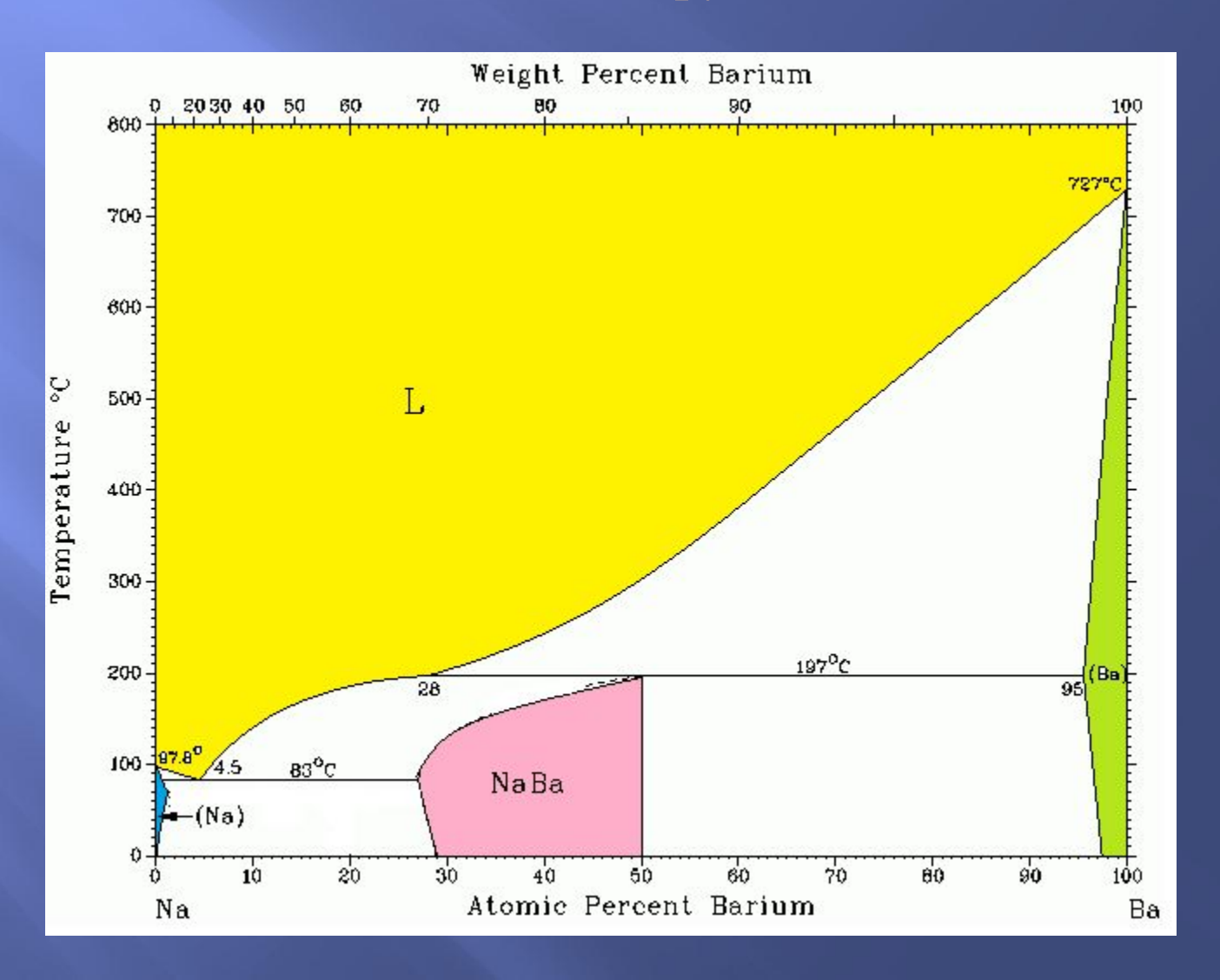
Гладкое и не-гладкое поведение линий ликвидуса на *Т-х* диаграммах бинарных систем и зависимостей на

диаграммах "состав-свойство"

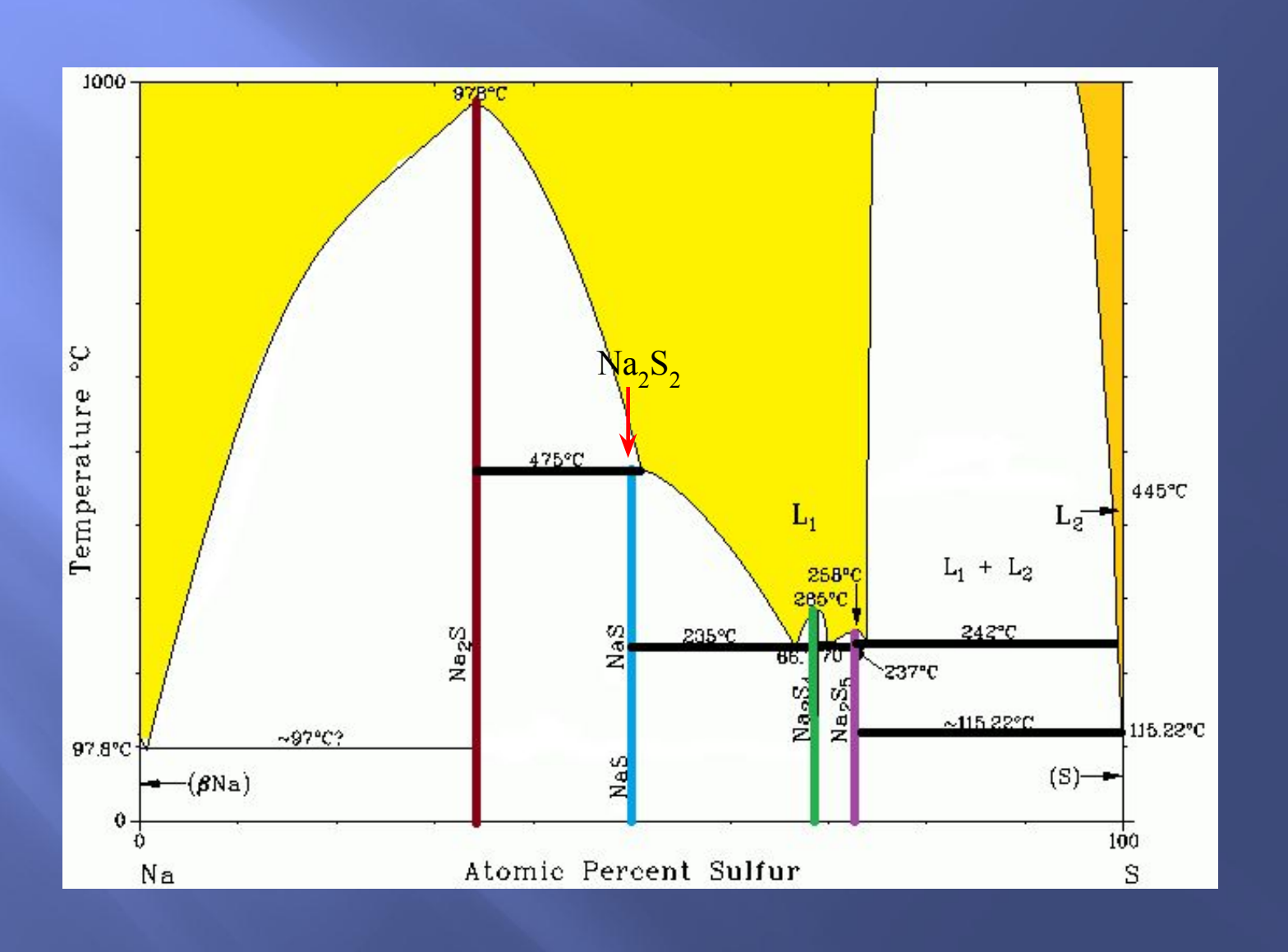


## Перитектический тип образования промежуточных твердых фаз

(диаграммы с соединением инконгруэнтным типом плавления)



#### Реальные диаграммы



#### **Диаграммы** "Состав – свойство" Закономерности Курнакова:

1. При расслоении в твердой фазе (образование гетерогенной смеси) свойства сплава изменяются по линейному закону (аддитивно). Величины, характеризующие свойства сплава находятся в интервале между свойствами чистых компонентов.

#### Закономерности Курнакова:

2. При образовании твердых растворов свойства изменяются по криволинейной зависимости, причем некоторые свойства, в первую очередь электросопротивление, могут значительно отличаться от компонентов. При образовании механической смеси электросопротивление повышается незначительно, при образовании твердого раствора — весьма сильно.

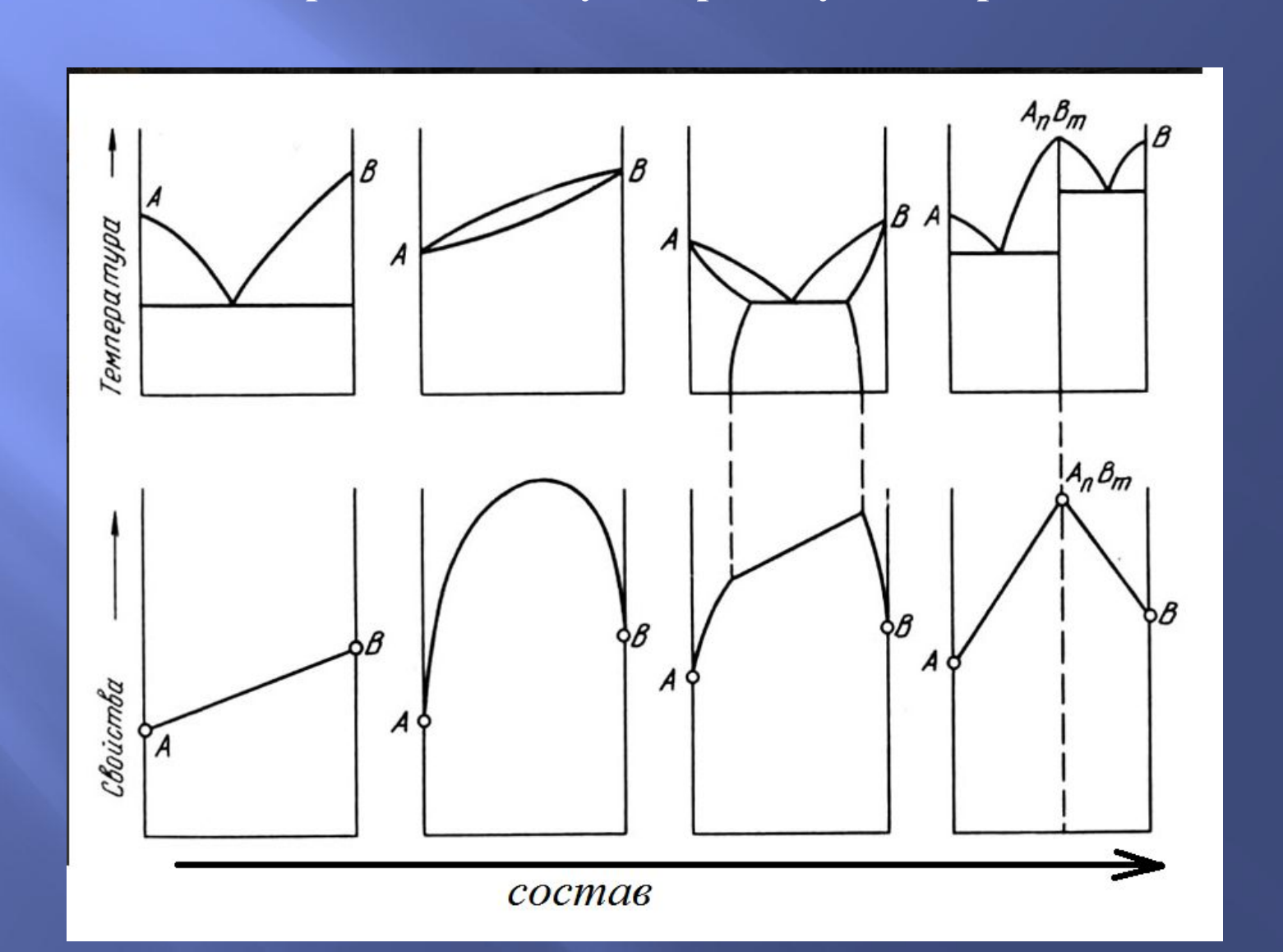
Для интерметаллидных систем твердость непрерывных твердых растворов как правило, достигает максимума при равных мольных концентрациях компонентов (т.е. около 50 мол.%). Это происходит за счет максимального искажения кристаллической структуры при составах, близких 50 мол %. По той же причине электропроводность также достигает максимума вблизи 50 мол %. Выделенная выше цветом закономерность иногда называется законами Курнакова.

#### Закономерности Курнакова:

3. При образовании ограниченных твердых растворов свойства в интервале концентраций, отвечающем однофазным твердым растворам, изменяются по криволинейному, а в двухфазной области диаграммы — по прямолинейному закону, причем крайние точки на прямой являются свойствами чистых фаз, предельно насыщенных твердых растворов, образующих данную смесь.

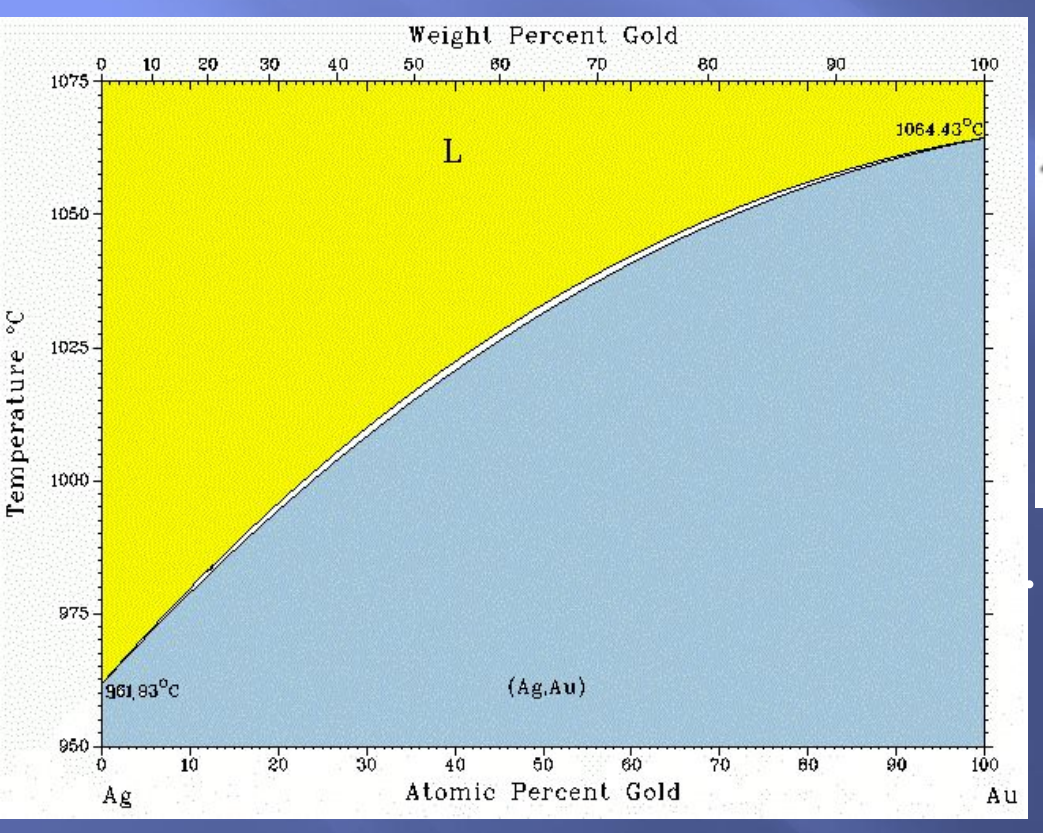
#### Т-х диаграммы и диаграммы "состав – свойство". Закономерности Курнакова

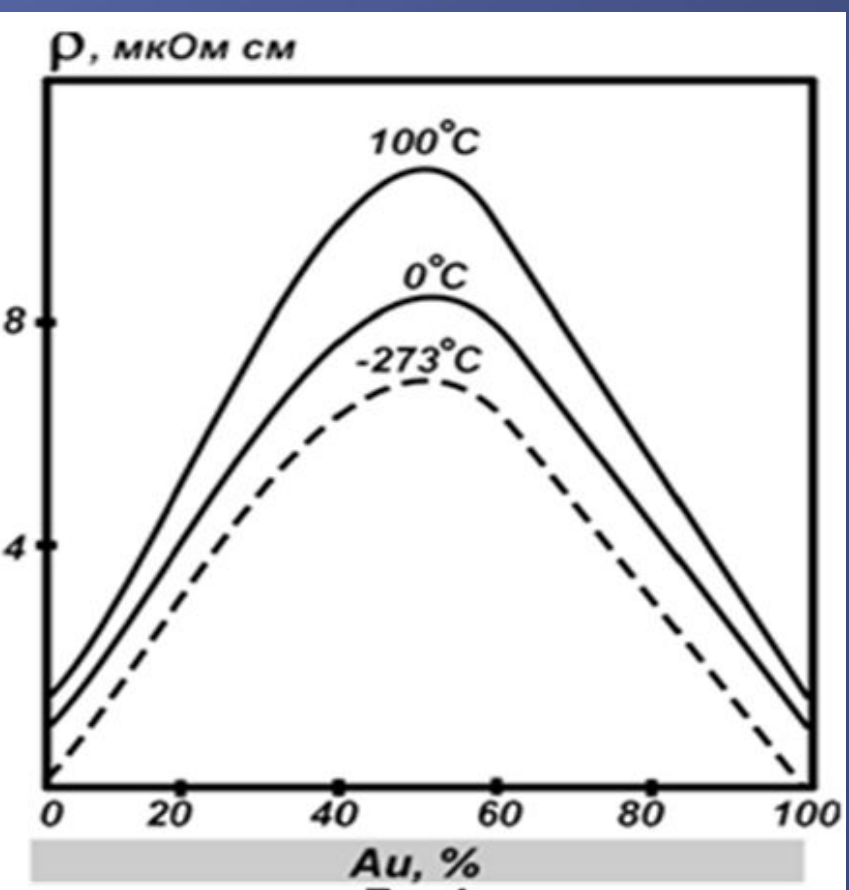
#### Иллюстрации к тексту на предыдущих страницах



#### Законы Курнакова

### *Т-х* диаграмма системы Ag-Au и ...

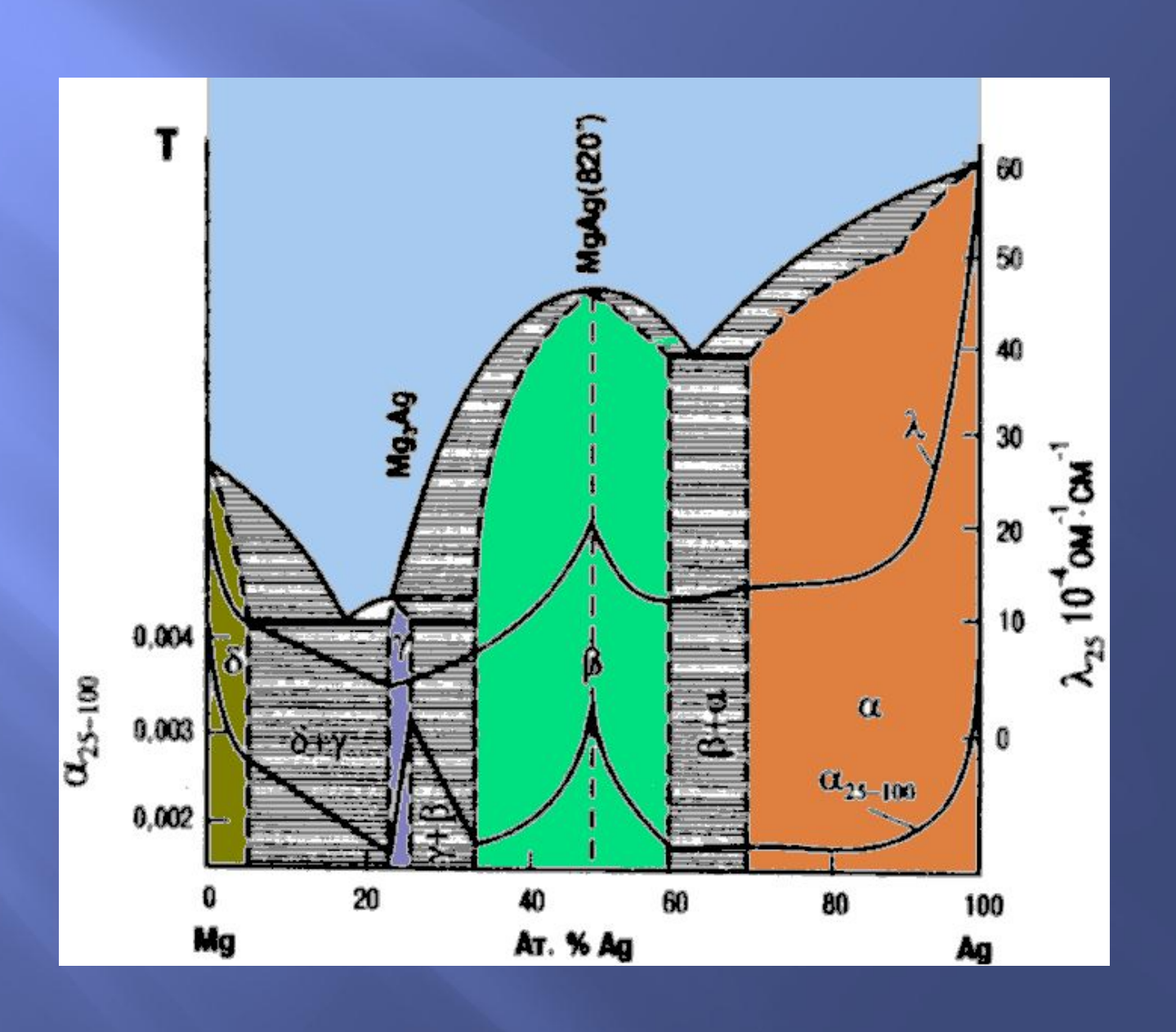




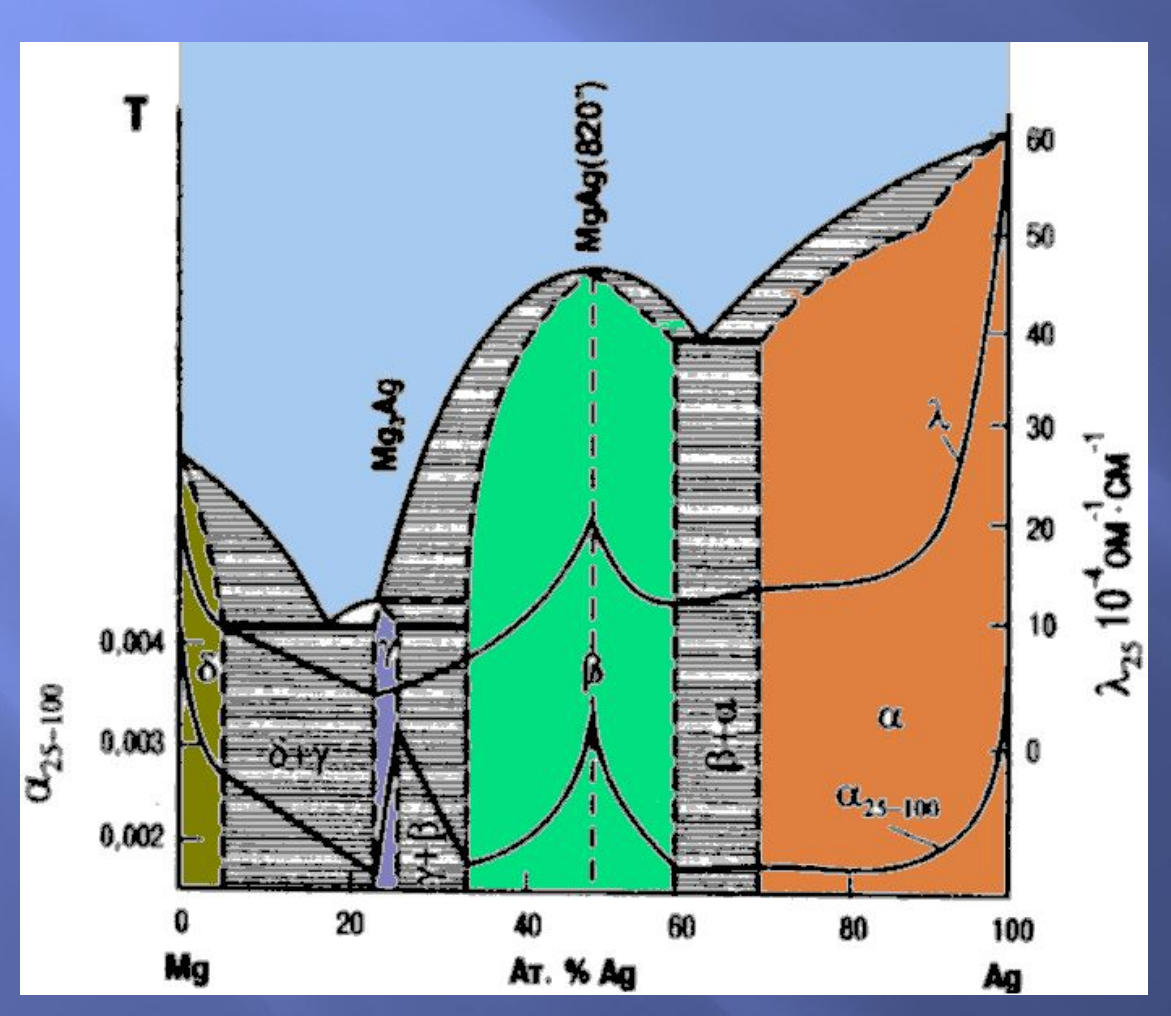
.. и зависимость удельного сопротивления твердых растворов системы Ag-Au от концентрации золота

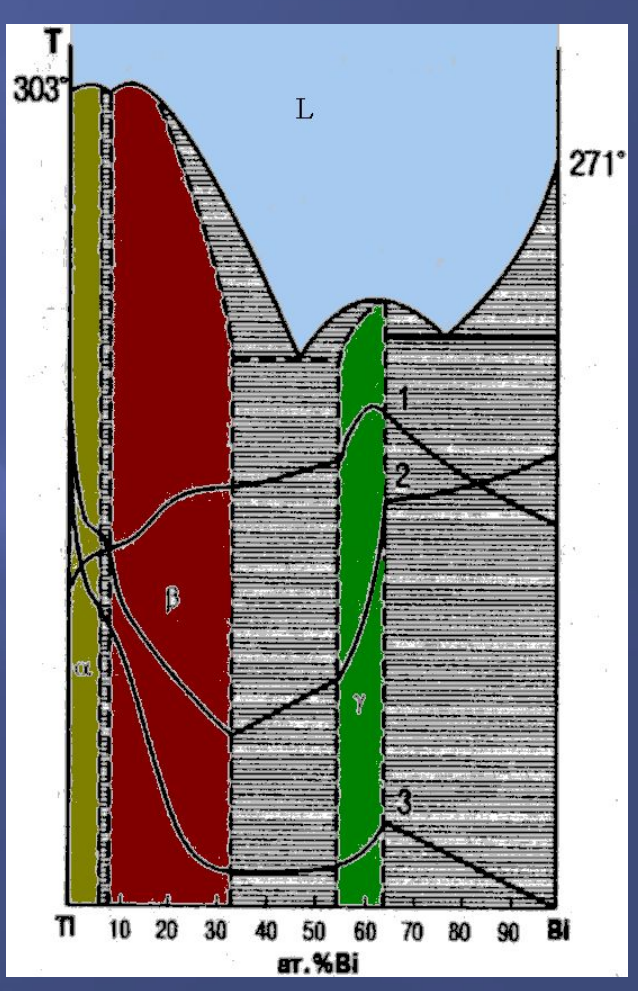
### Проблема поиска преимущественного состава в промежуточных твердых фазах: проблема дальтонидов и бертоллидов

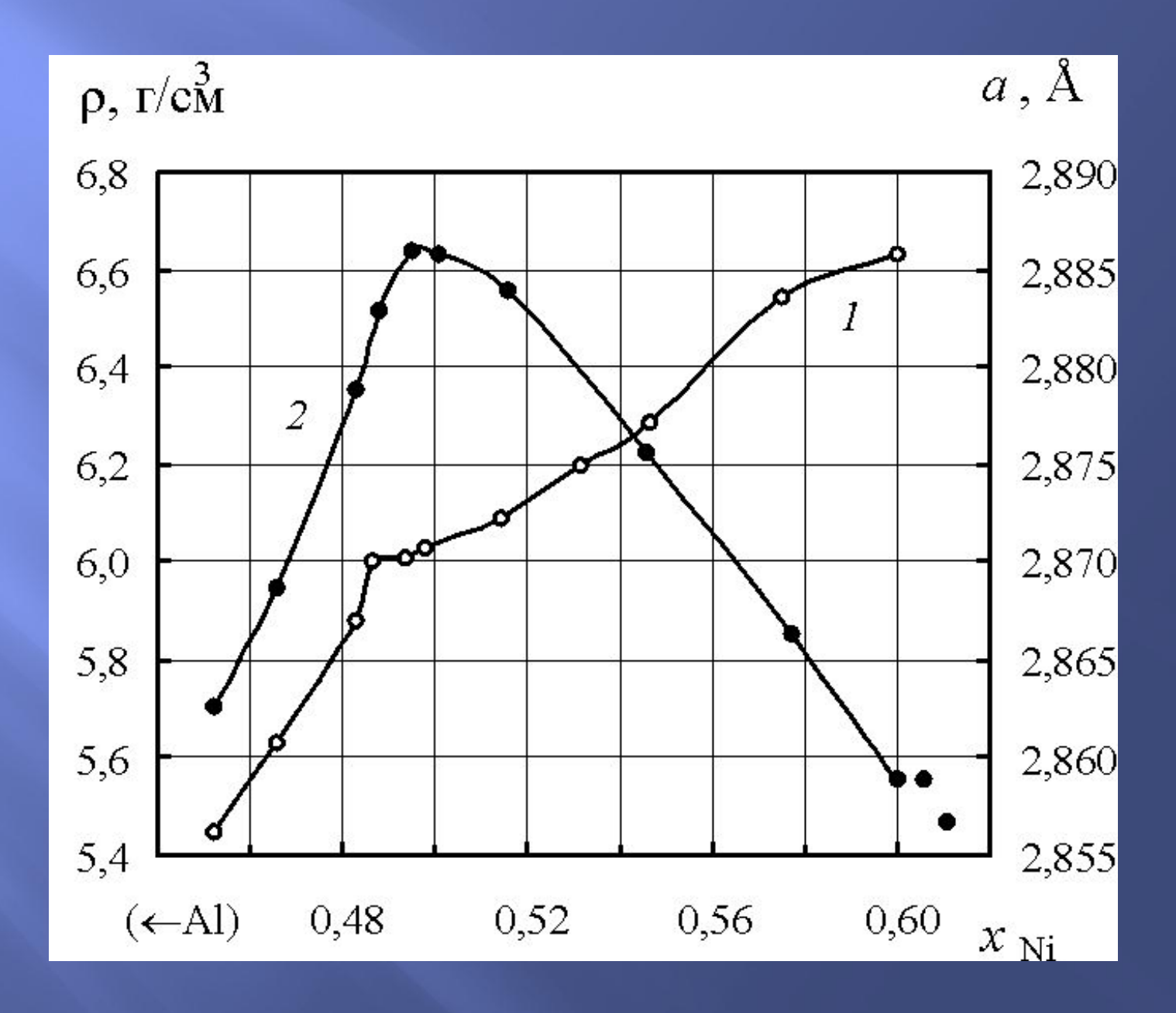
#### Дальтонидная фаза MgAg



#### Дальтонидная фаза MgAg и бертоллидная фаза TlBi (справа)



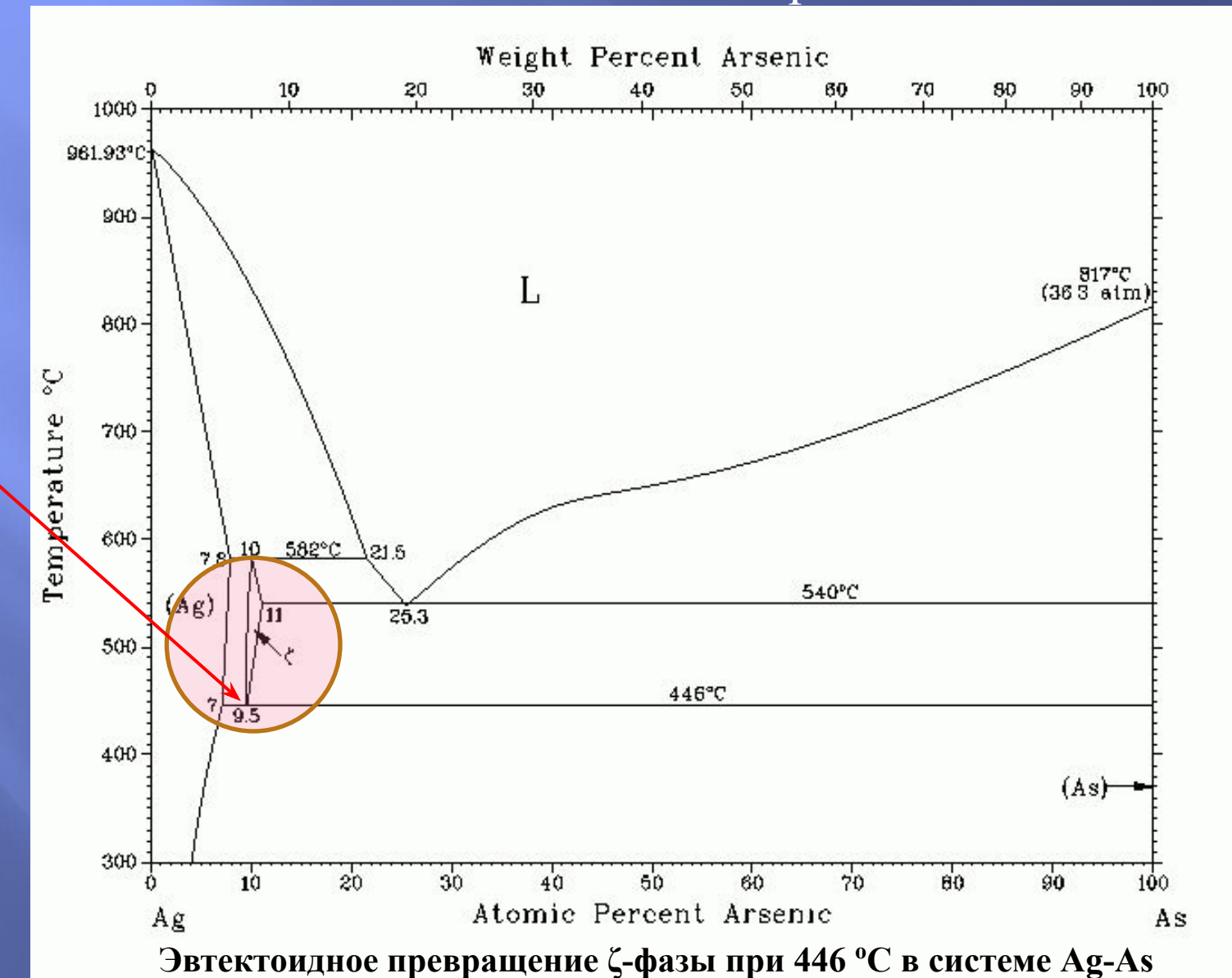




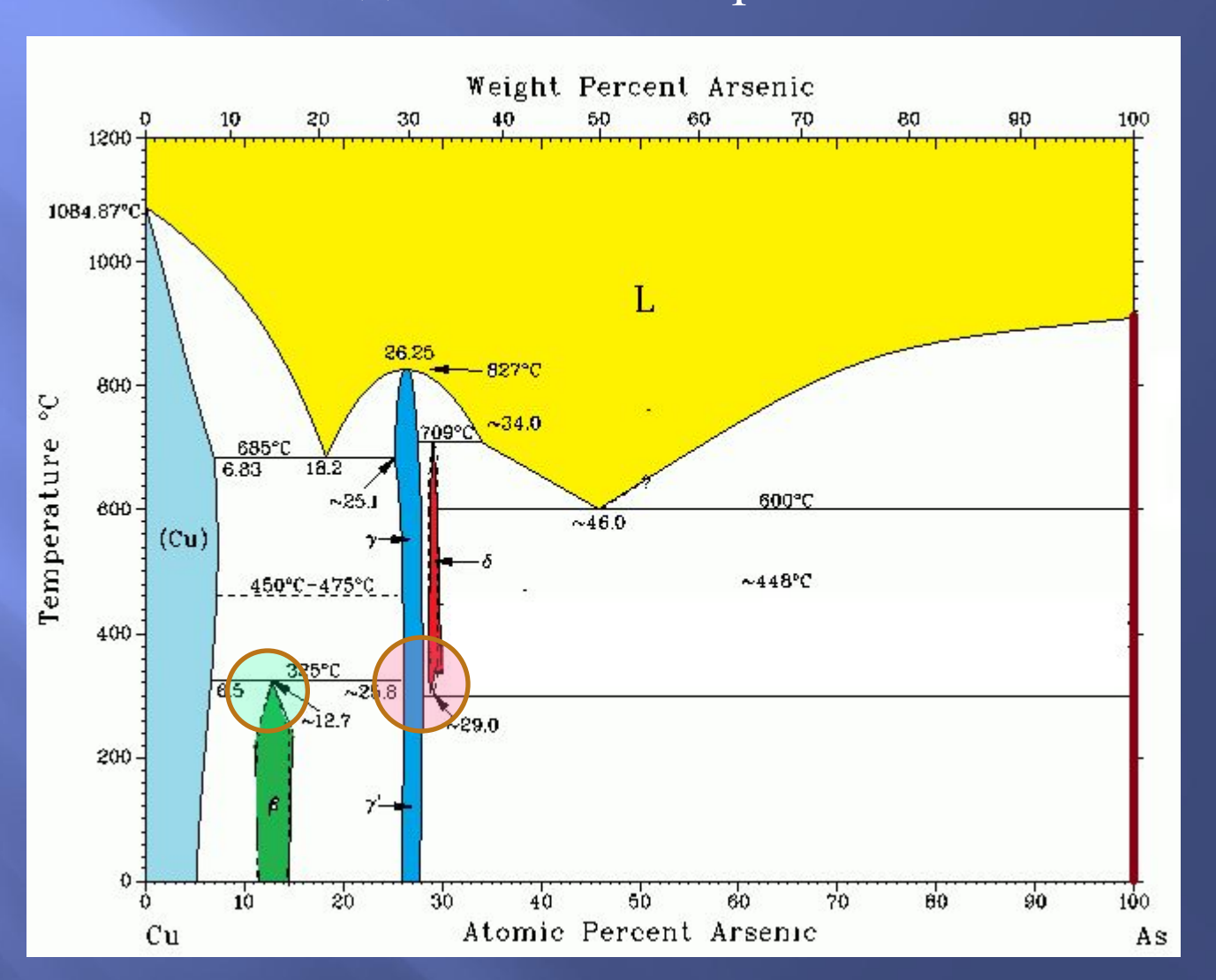
# Взаимодействия с участием только твердых фаз в бинарных системах:

эвтектоидный и перитектоидный и дистектоидный типы взаимодействия

#### Взаимодействия с участием только твердых фаз: эвтектоидный, перитектоидный и дистектоидный типы взаимодействия в бинарных системах

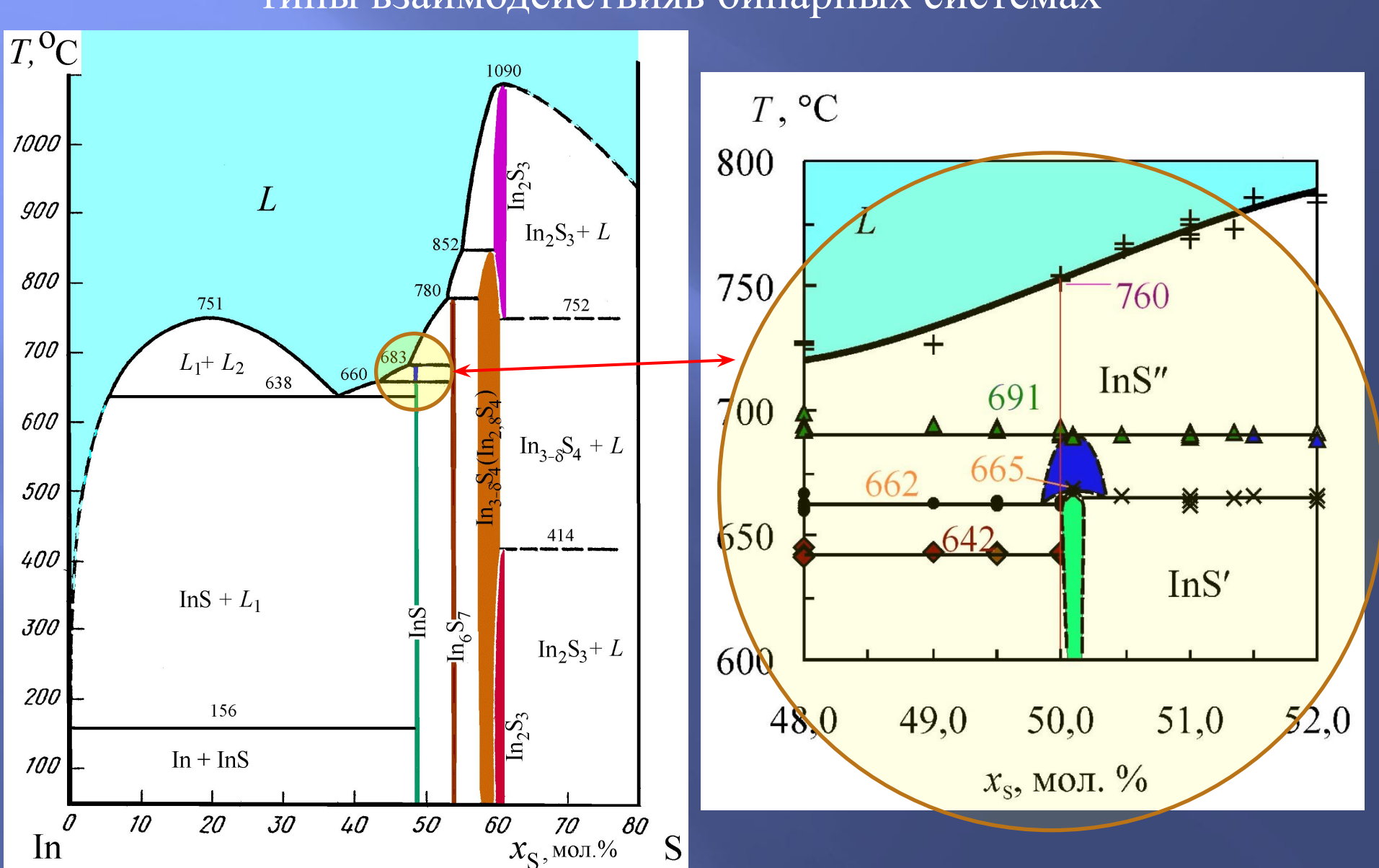


## Взаимодействия с участием только твердых фаз: <u>эвтектоидный, перитектоидный</u> и дистектоидный типы взаимодействияв бинарных системах



### Взаимодействия с участием только твердых фаз : эвтектоидный, перитектоидный и дистектоидный

типы взаимодействияв бинарных системах





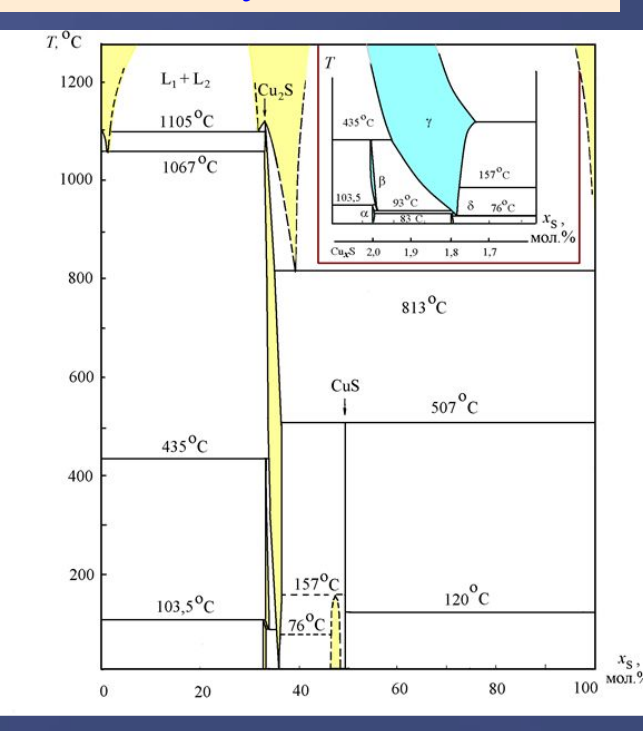
эвтектика (вверху) и природное медистое золото (твердый p-p, внизу) раствор Al<sub>2</sub>O<sub>3</sub>-Cr<sub>2</sub>O<sub>3</sub>





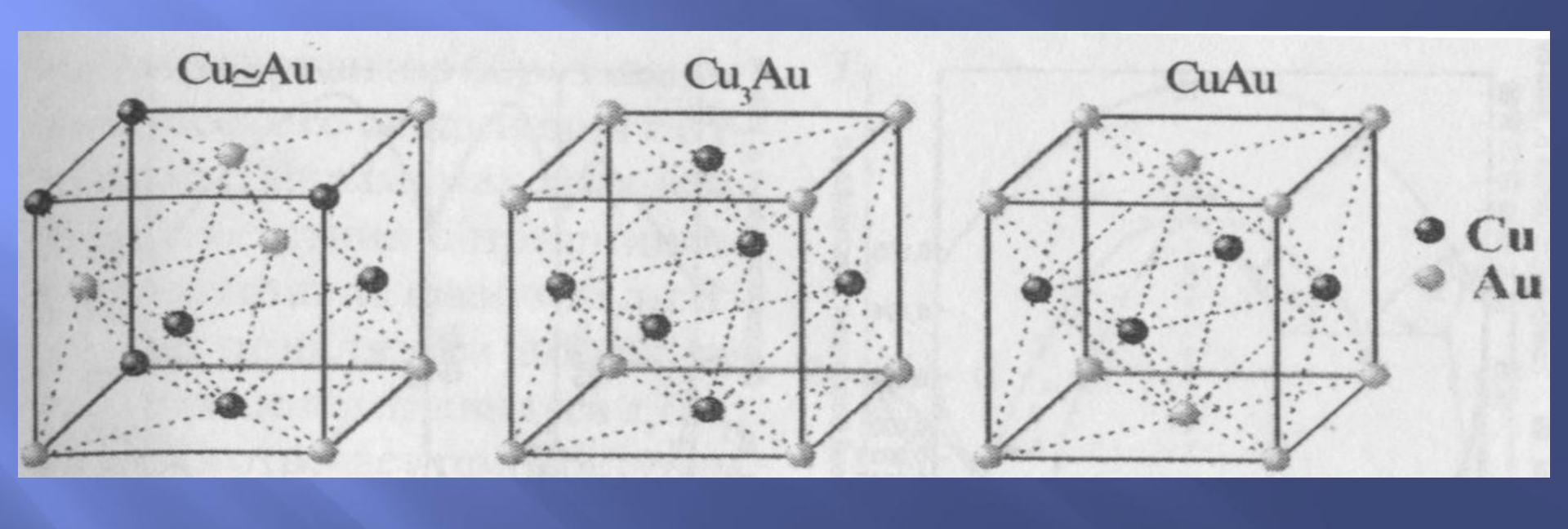
Минерал ковелин CuS и соответствующая Т-х ФД



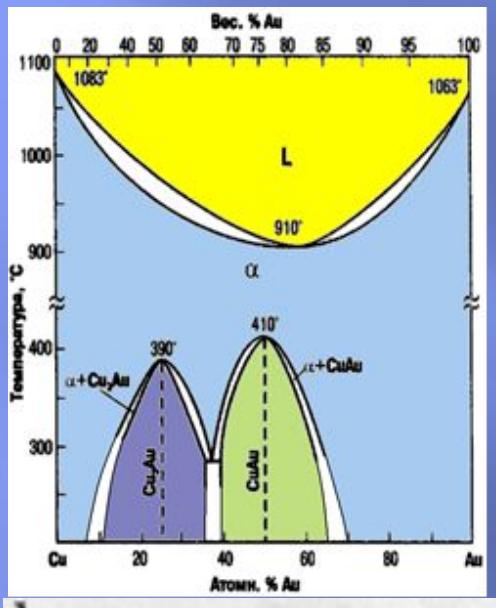


## **Генезис различных типов индивидуальных фаз** (по нарастанию химизма)

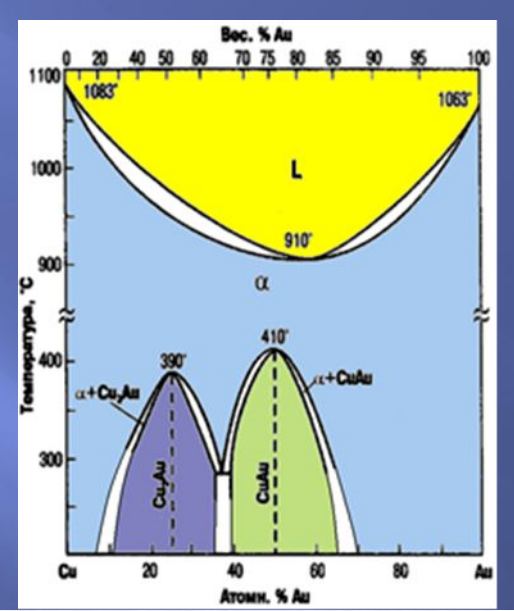
Соединения Курнакова: результат упорядочения твердых растворов

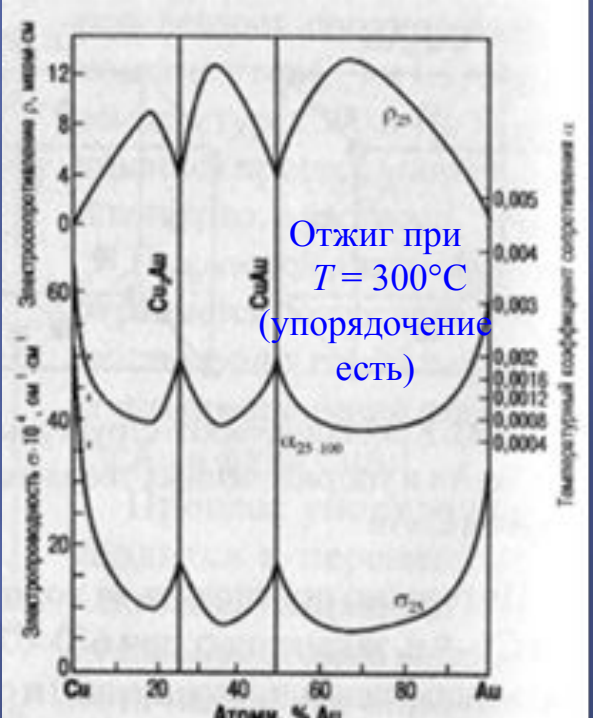


#### Соединения Курнакова: результат упорядочения твердых растворов









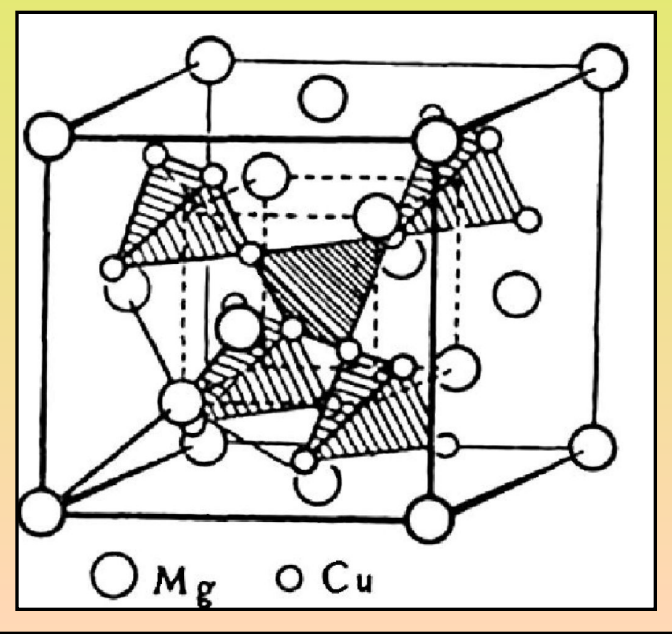
Т-х диаграмма системы Cu-Au и концентрационные зависимости различных свойств для сплавов, закаленных от температуры 600 °С (упорядочения нет, изображение слева) и аналогичные зависимости для образцов, отожженных длительное время при 300 °C и закаленных от этой температуры (упорядочение с образованием соединений Курнакова, изображение справа).

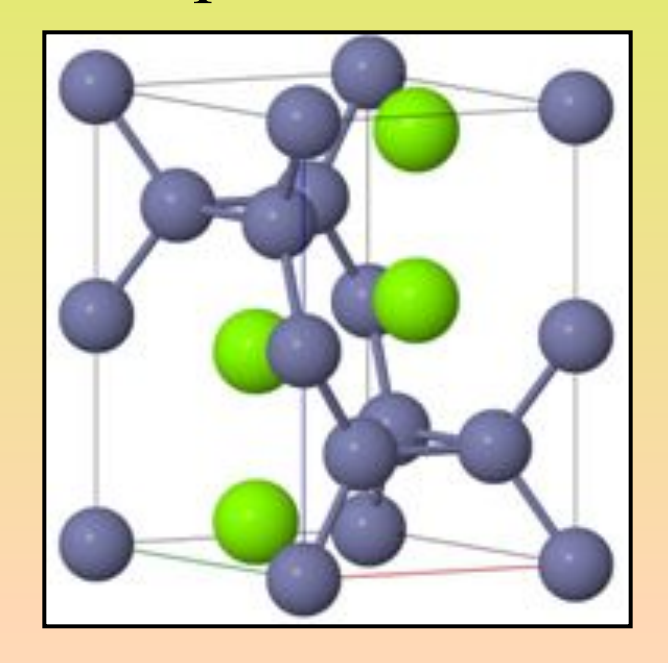
## Генезис различных типов индивидуальных фаз (по нарастанию химизма)

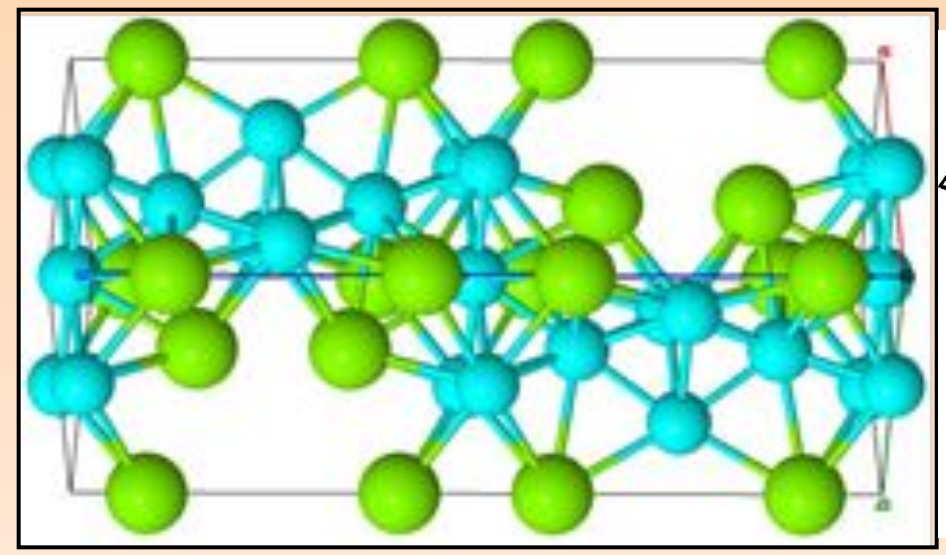
#### Фазы Лавеса

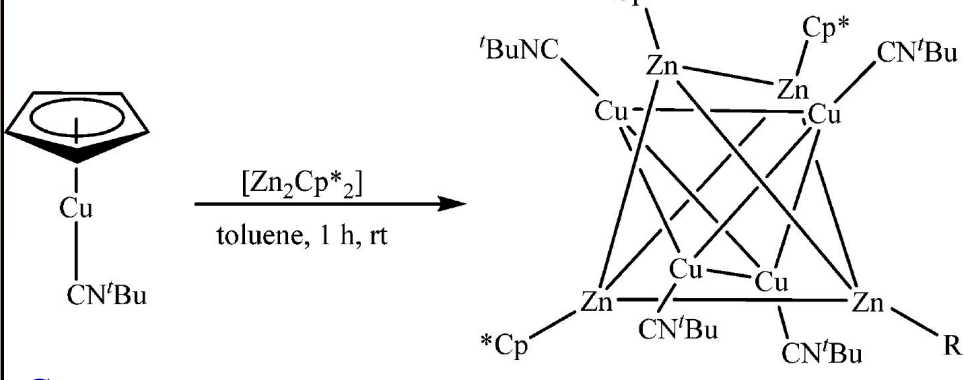
Фазы Лавеса образуются атомами двух сортов A и B, причем атом сорта A всегда имеет больший атомный радиус, чем атом сорта B, причем существует идеальное соотношение радиусов компонентов  $R_A$ : $R_B$ =1.225 ( $V_A$ : $V_B$  = 2:1). К фазам Лавеса относятся соединения, кристаллизующиеся в несколько родственных структурных типов, из которых наиболее многочисленными являются три следующих: - гексагональный тип MgZn2, кубический тип MgCu2, гексагональный тип MgNi<sub>2</sub>.Все фазы Лавеса имеют разный порядок укладки одинаковых структурных единиц, в качестве которой в данном случае выступает многослойный «сэндвич». Так кубическая фаза Лавеса MgCu, представляет собой трёхслойную укладку элементарных структурных единиц в порядке ... XYZXYZ..., фаза MgZn, является двухслойной ... XYXY..., а фаза MgNi, — четырёхслойной ...ХҮХХХҮХХ.... Возможны и другие последовательности укладки слоёв. Основная особенность фаз Лавеса — наличие кластеров из атомов B(атомы меньшего размера).

#### Фазы Лавеса: элементарные ячейки









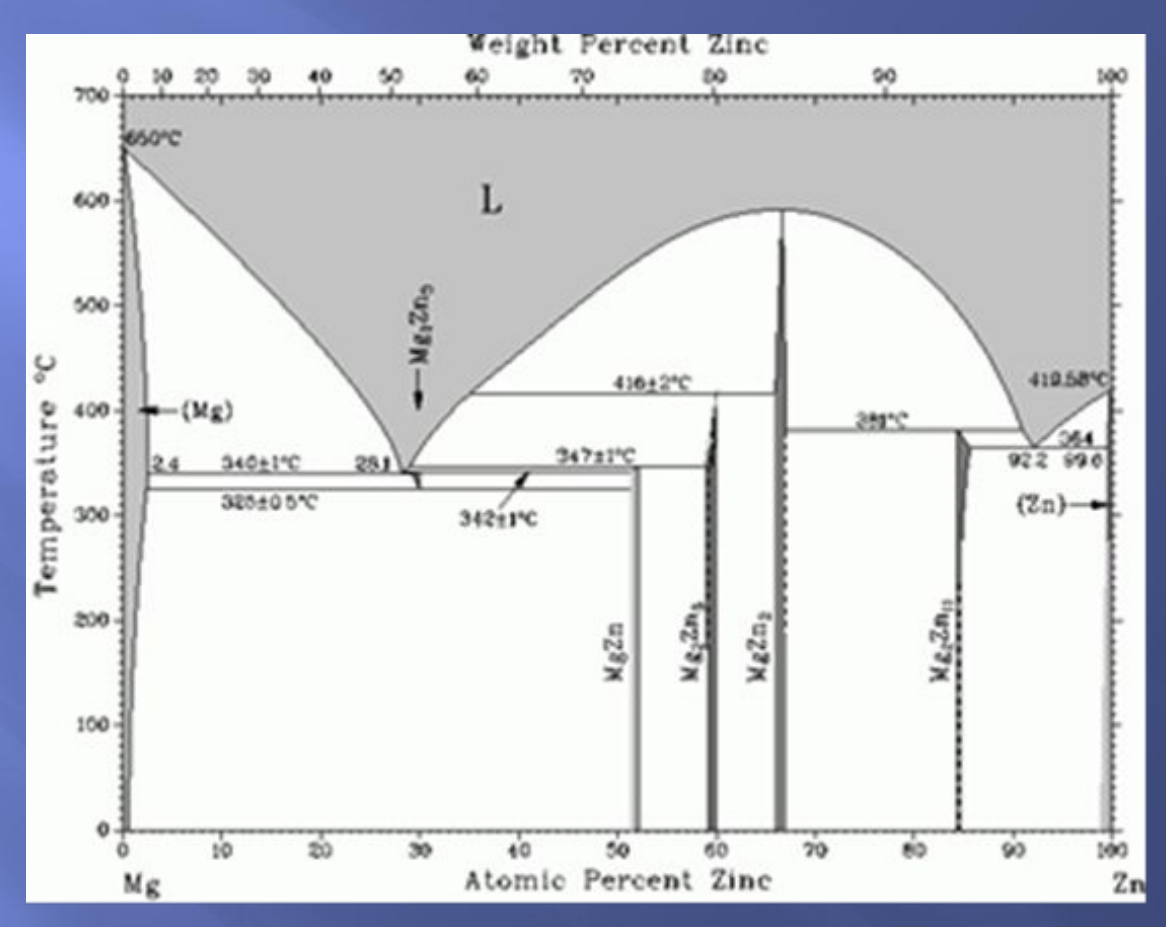
Селективные реакции с участием фаз Лавеса и Юм-Розери

1a:  $R = Cp^*$ 

1b: R = Cp

Тип MgCu<sub>2</sub> (слева) и MgZn<sub>2</sub> (справа; в кластеры связаны атомы цинка) и MgNi<sub>2</sub> (слева внизу; "голубые" атомы соответствуют никелю)

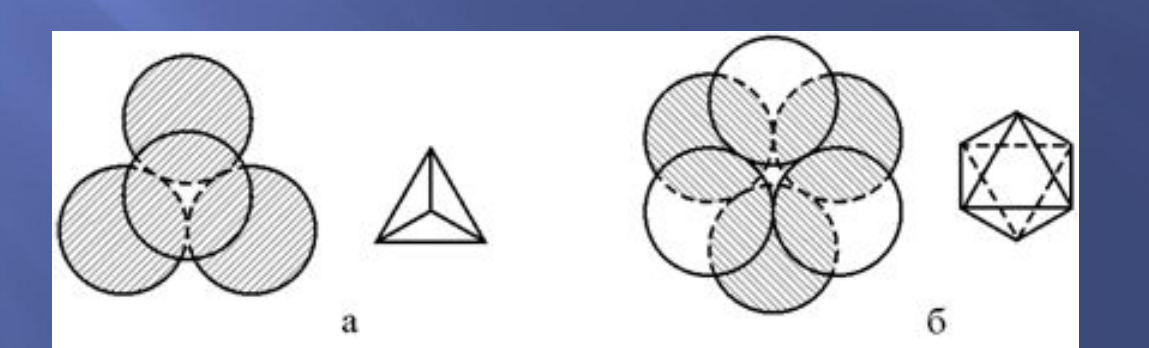
#### Фазы Лавеса



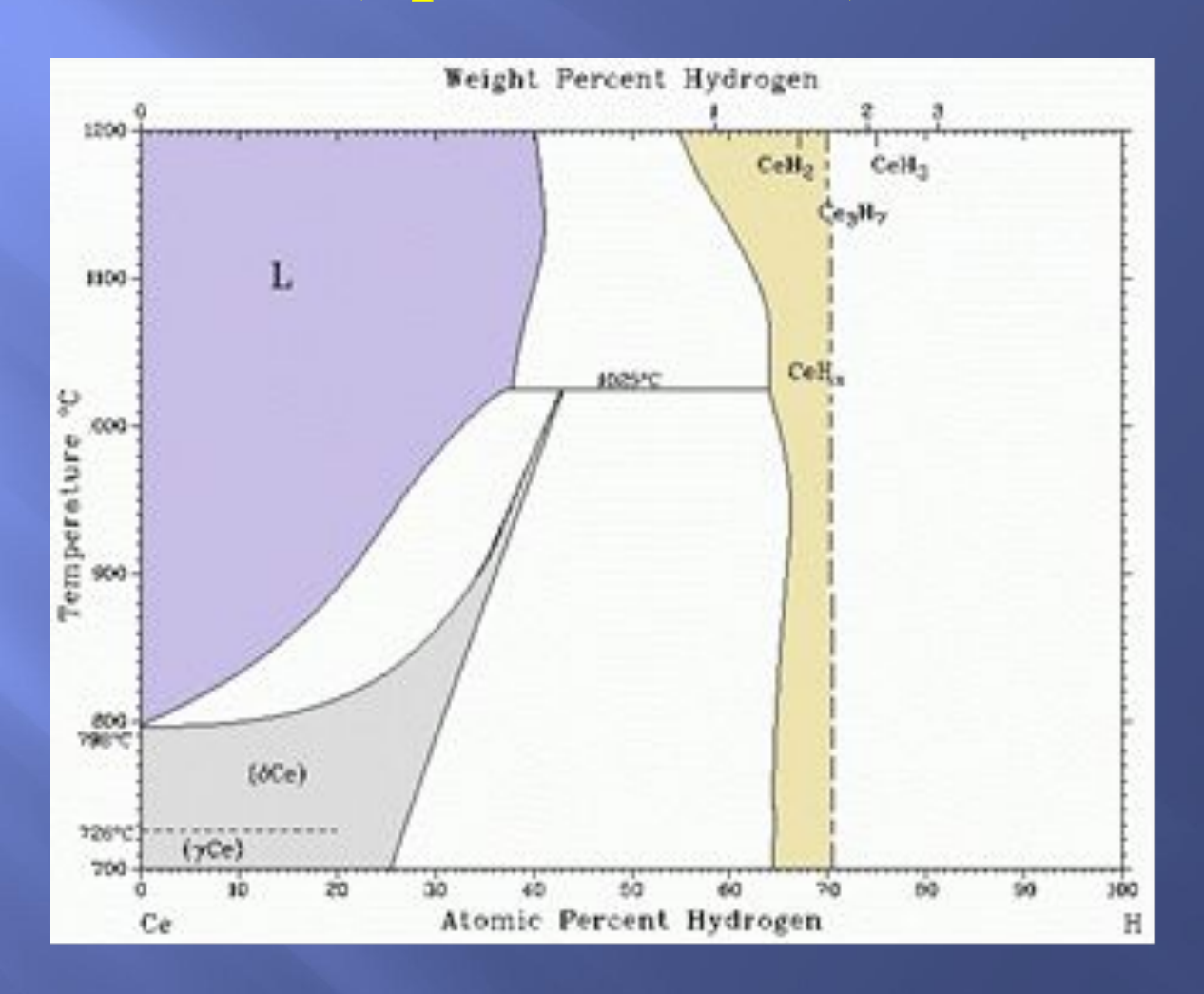
T-x диаграмма системы Mg-Zn; наиболее тугоплавкая конгруэнтно плавящаяся фаза — фаза Лавеса MgZn<sub>2</sub>

## Генезис различных типов индивидуальных фаз (по нарастанию химизма)

Фазы внедрения (фазы Хэгга). Структура состоит из атомов металла, расположенных так же, как и в характерных для металлов плотных упаковках (гексагональная., гранецентрированный. или объемноцентрированный. куб), а атомы неметаллов (H, N, C, B, P, O) расположены в тетраэдрических и октаэдрических пустотах этой плотной упаковки. Число тетраэдрических пустот в плотнейшей упаковке (рис "а" внизу) в два раза больше числа октаэдрических (рис " $\delta$ " внизу). Фазы внедрения могут образовываться, если отношение радиусов атомов  $R_{\rm Me}/Rx \ge 0,59$  (правило Хэгга). **В фазах внедрения** подрешетка атомов металла отличается от структуры исходного металла. Так, у карбидов Ті и V типа МХ гранецентрированная кубическая решетка (хотя Ті и V не кристаллизуются в ней). Для фаз внедрения характерны заметные области гомогенности, границами которых со стороны неметалла является стехиометрический состав.



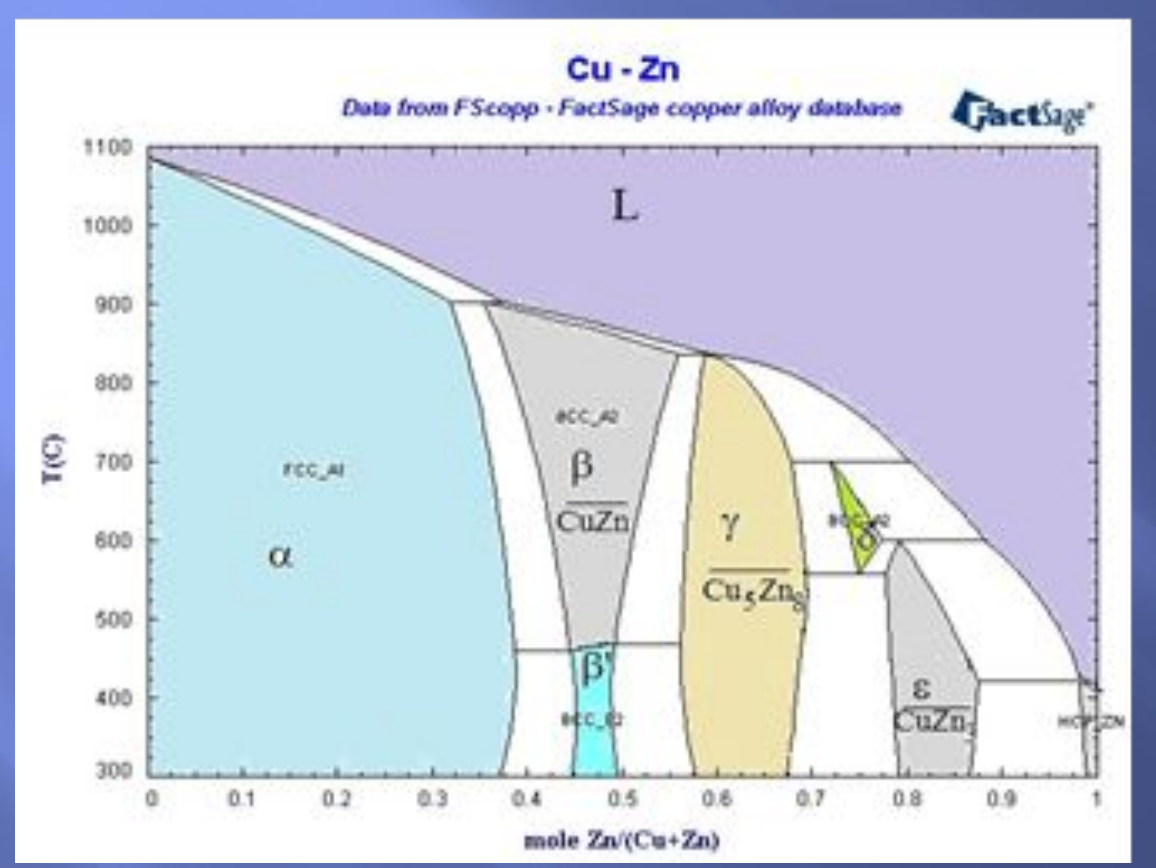
#### Фазы внедрения (фазы Хэгга) (продолжение)

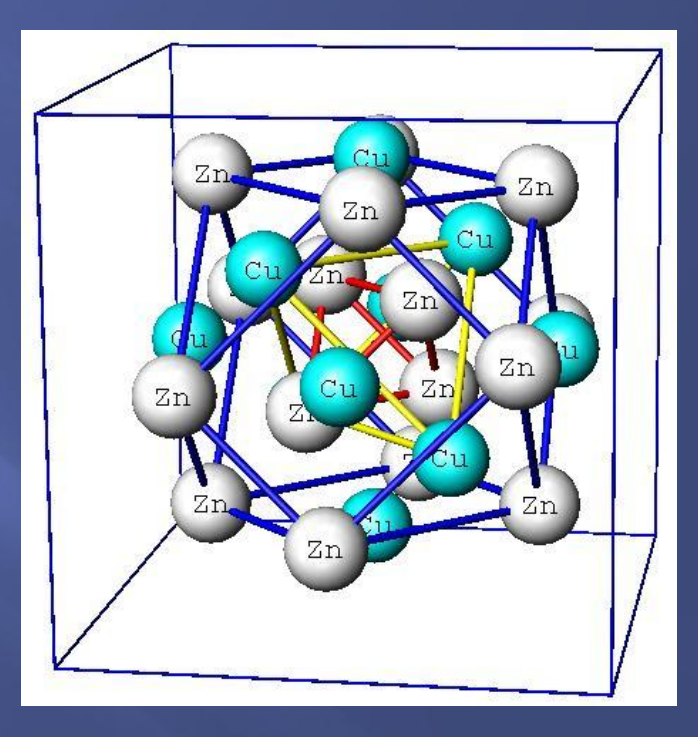


*Т-х* диаграмма системы Се-Н. Имеется как твердый раствор внедрения (область гомогенности - серая заливка), так и фаза внедрения (желтоватая заливка)

## Электронные соединения Юм-Розери

Стехиометрию определяет формальная электронная концентрация:  $N_{\rm e}/N_{\rm at}=21/12;\,N_{\rm e}/N_{\rm at}=21/13;\,N_{\rm e}/N_{\rm at}=21/14$ 





T-x диаграмма системы Cu-Zn с образованием многочисленных соединений Юм-Розери (CuZn, Cu $_5$ Zn $_8$ , CuZn $_3$ )

Расположение атомов в структуре γ-латуни

# Примеры соединений Юм-Розери

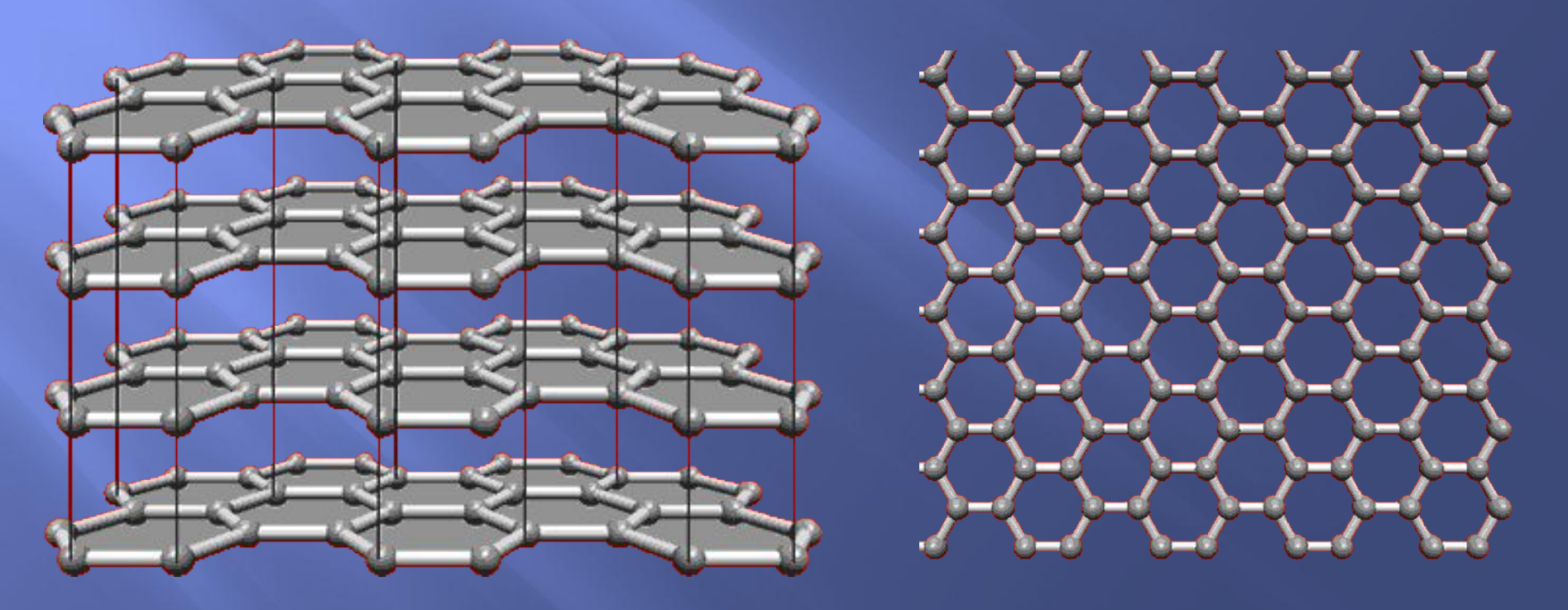
Соединение	Число	Число атомов	Формальная	Тип структуры
	валентных	в формульной	электронная	
	электронов	единице	концентрация, е/ат	
CuZn	1+2 = 3	2	21/14 = 3/2	β- латунь
AgMg	1+2 = 3	2	21/14 = 3/2	β- латунь
Cu <sub>3</sub> Al	3+3=6	4	21/14 = 3/2	β- латунь
InNi	3+0=3	2	21/14 = 3/2	β- латунь
Cu <sub>5</sub> Zn <sub>8</sub>	5+16=21	13	21/13	γ- латунь
Cu <sub>9</sub> Al <sub>4</sub>	9+12=21	13	21/13	γ- латунь
Cu <sub>31</sub> Sn <sub>8</sub>	31+32=63	39	21/13	γ- латунь
Au <sub>5</sub> Zn <sub>8</sub>	5+16=21	13	21/13	γ- латунь
$Co_5Zn_{21}$	0+42 = 42	26	21/13	
$AgCd_3$	1+6=7	4	21/12 = 7/4	є <b>-</b> латунь
CuZn <sub>3</sub>	1+6=7	4	21/12 = 7/4	є <b>-</b> латунь
$Ag_5Al_3$	5+9 = 14	8	21/12 = 7/4	є <b>-</b> латунь
Cu <sub>3</sub> Sn	3=4=7	4	21/12 = 7/4	ε- латунь

### Генезис различных типов индивидуальных фаз

### Интеркалированные слоистые соединения

(аналогия между твердыми растворами внедрения и фазами внедрения)

Реакция вхождения атомов или даже молекул или ионов между слоями структуры – матрицы ("хозяина") называется интеркалированием, а сами продукты – интеркалатами.

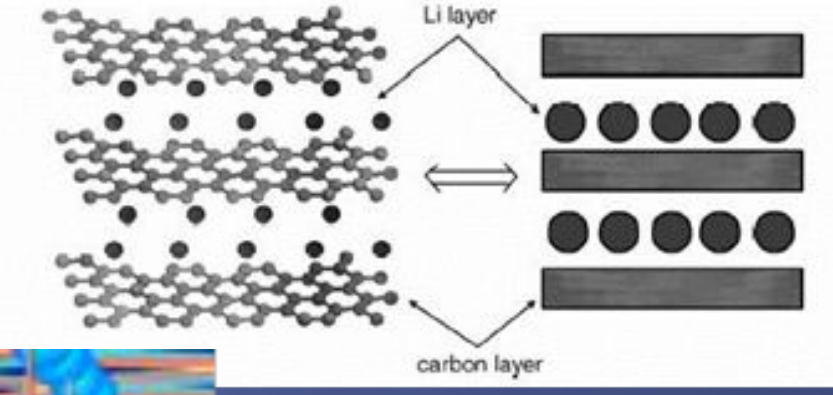


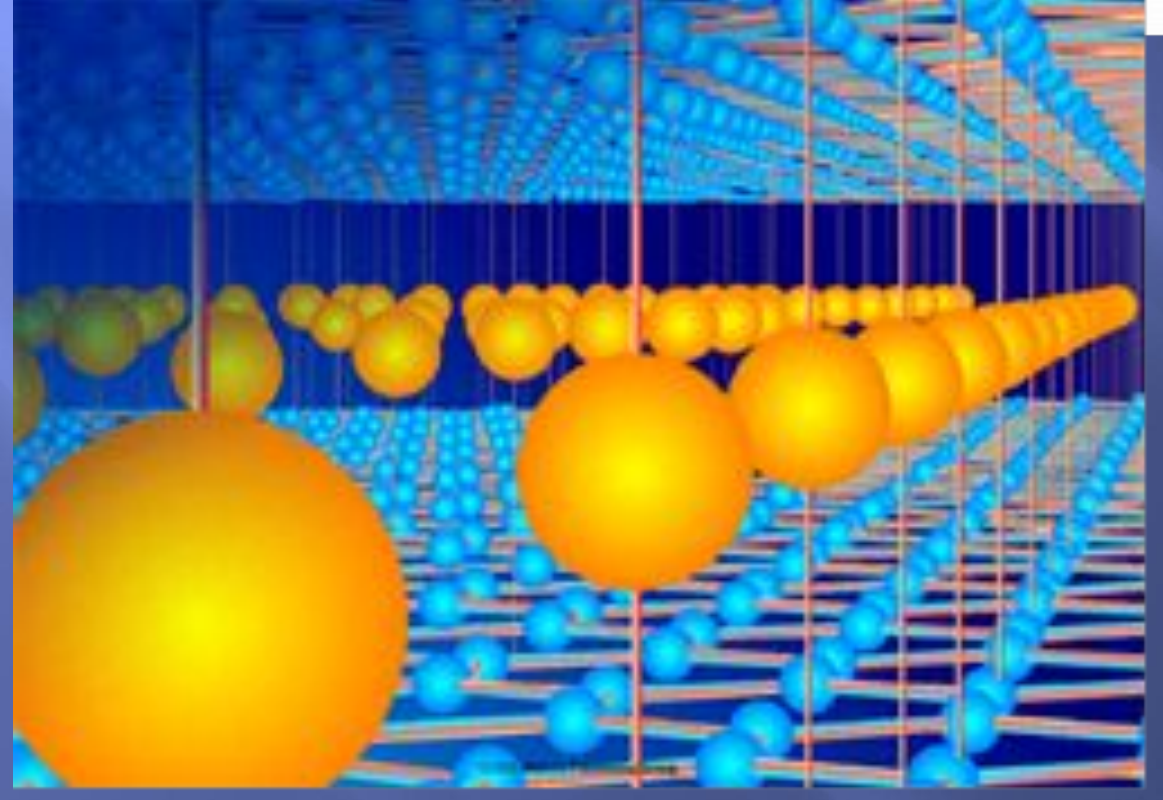
Структуры типичного "хозяина" графита - слева и графена (монослой графита) - справа

# Интеркалированные слоистые

СОЕДИНЕНИЯ (аналогия между твердыми растворами

внедрения и фазами внедрения,



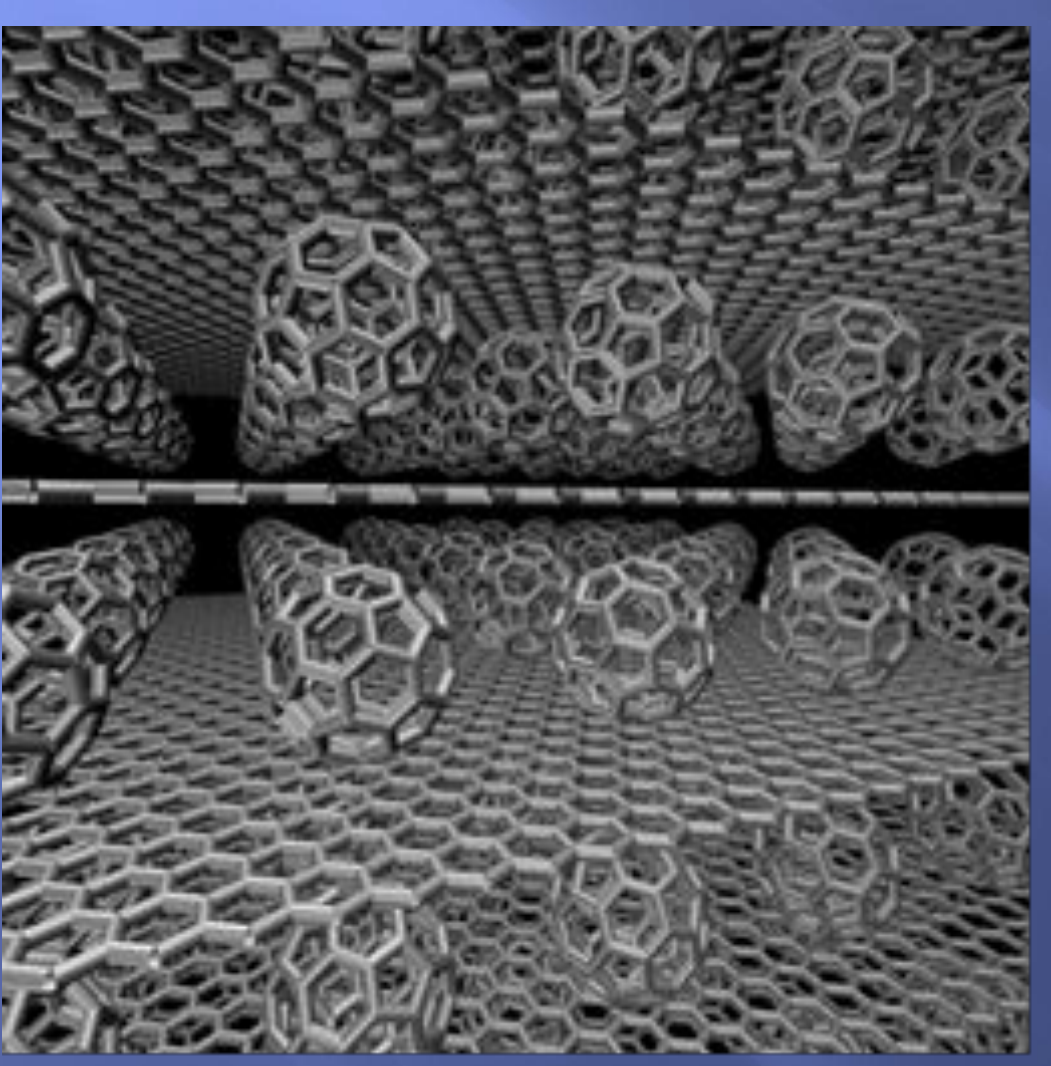


Интеркалат лития в графите: упорядочение внедренного вещества

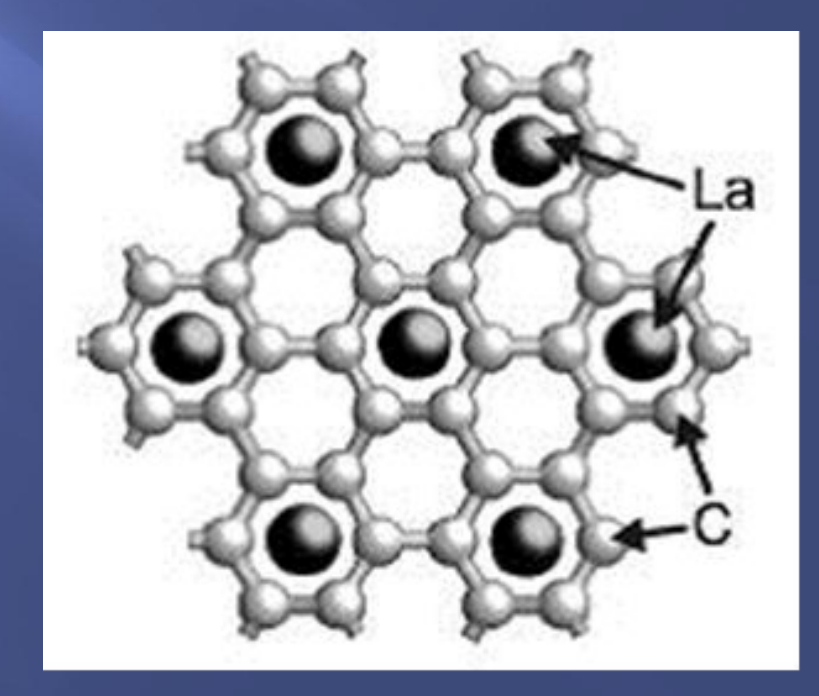
# Интеркалированные слоистые

СОЕДИНЕНИЯ (аналогия между твердыми растворами

<u>внедрения и фазами внедрения, продолжение)</u>



Интеркалированные соединения:  $(C_{60})_x$ С (слева),  $LaC_8$  (показан один слой, рис. справа)

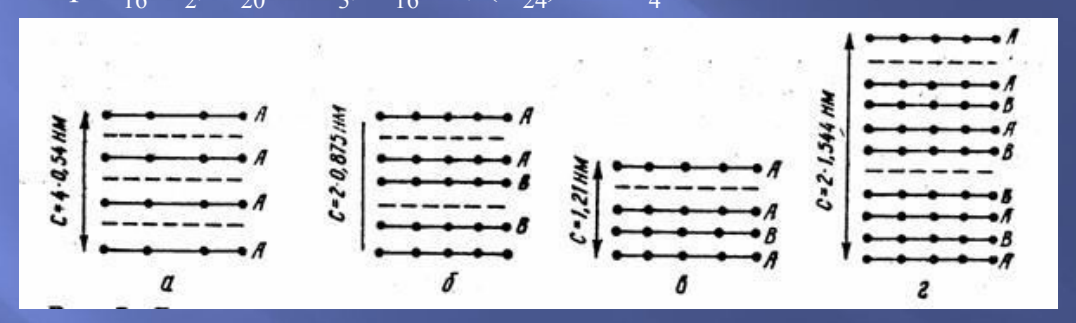


## Интеркалированные слоистые соединения

(аналогия между <u>твердыми растворами внедрения</u> и фазами внедрения, продолжение)

Соединения внедрения графита (СВГ) – частный случай интеркалатов.

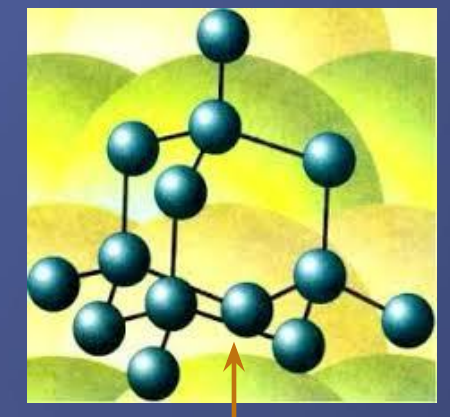
СВГ делятся на два широких класса: донорные и акцепторые. Перераспределение электронной плотности между молекулами интеркалята и атомами углерода в СВГ акцепторного типа приводит к появлению дополнительного количества делокализованных дырок в графитовых слоях. В донорных соединениях внедренные вещества отдают свои валентные электроны, и проводимость осуществляется избыточными электронами в углеродных слоях. Акцепторные соединения образуются при внедрении таких веществ, как галогены, галогениды металлов, кислоты. Донорные соединения образуются при внедрении щелочных или щелочноземельных металлов в графитовую матрицу. Примерами соединений донорного типа являются  $C_4K$ ,  $C_8Li$ ,  $C_8Ca$ . Акцепторые соединения имеют более сложный состав, например  $C_{16}Br_2$ ,  $C_{20}FeCl_3$ ,  $C_{16}ICl$ ,  $(C_{24})^+HSO_4^-$  и т.д..



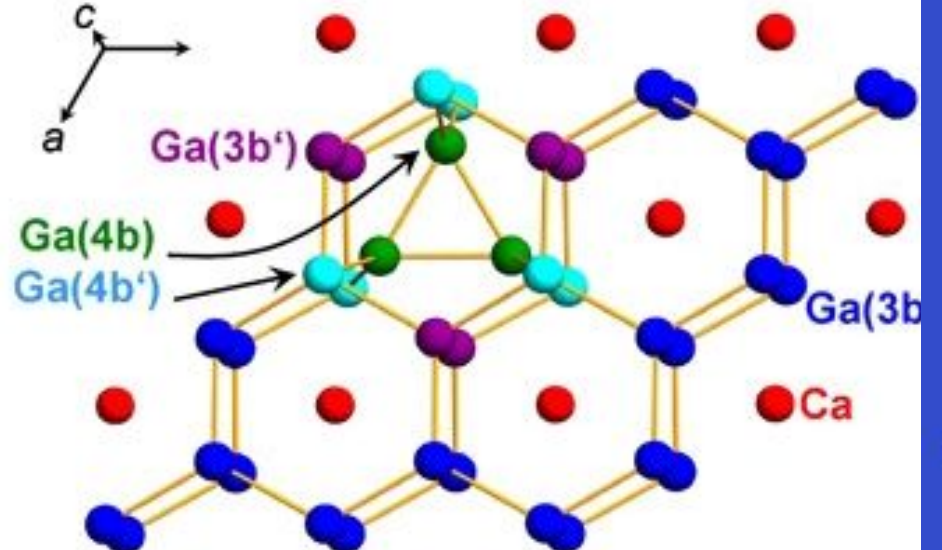
Кроме того, известны СВГ, в которых межслоевые пространства попеременно заняты двумя интеркалирующими агентами. Это так называемые гетеросоединения, типичным примером которых является СВГ с CuC1<sub>2</sub> и ICl. Они еще более расширяют возможности получения новых материалов с уникальным набором свойств. При интеркалировании всегда происходит значительное (в 2-3 раза) увеличение расстояния между графитовыми слоями и может нарушиться порядок чередования слоев, характерный для монокристаллического графита. Отличительной особенностью СВГ является наличие целого спектра соединений одного и того же интеркалята, различающихся составом и строением. Они называются ступенями. Номер ступени N равен числу графитовых сеток между ближайшими слоями внедренного вещества.

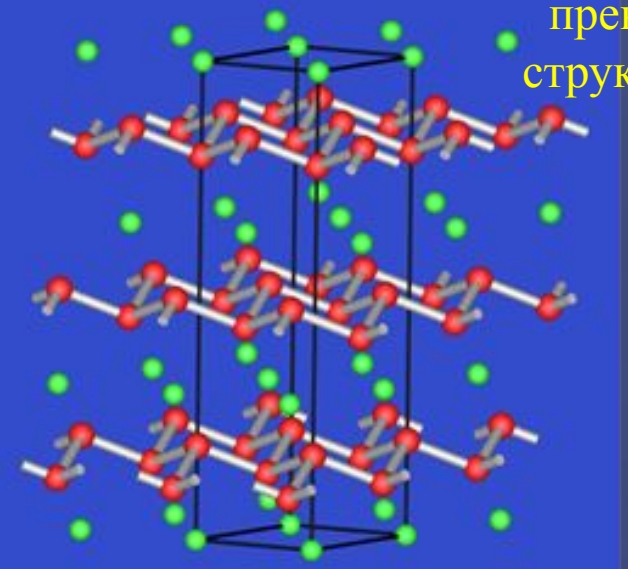
### Фазы Цинтля (фазы, подобные интеркалатам)

Ф а з ы Ц и н т л я -бинарные, тройные и более сложные соединения, включающие наиболее активных s-металлов с sp-элементами и (металлами и неметаллами) IIIa-VIa гр., характеризующиеся образованием групп одинаковых sp элемента. Примеры фаз Цинтля - высшие ( $CaB_6$  с октаэдрическими группировками  $B_6$  и др.),  $Li_{21}Si_5$ , в к-ром м.б. выделены группы [ $Li_{22}Si_4$ ]<sup>6+</sup> и [ $Li_{20}Si_6$ ]<sup>4-</sup> и т.д. Особенность фаз Цинтля — гомодесмические связи и перенос заряда от атомов наиболее активных металлов к цепочкам элементов с полуметаллической и неметаллической природой.



Сжатие стр-ры алмаза по определенным направлениям превращает ее в структуру графита

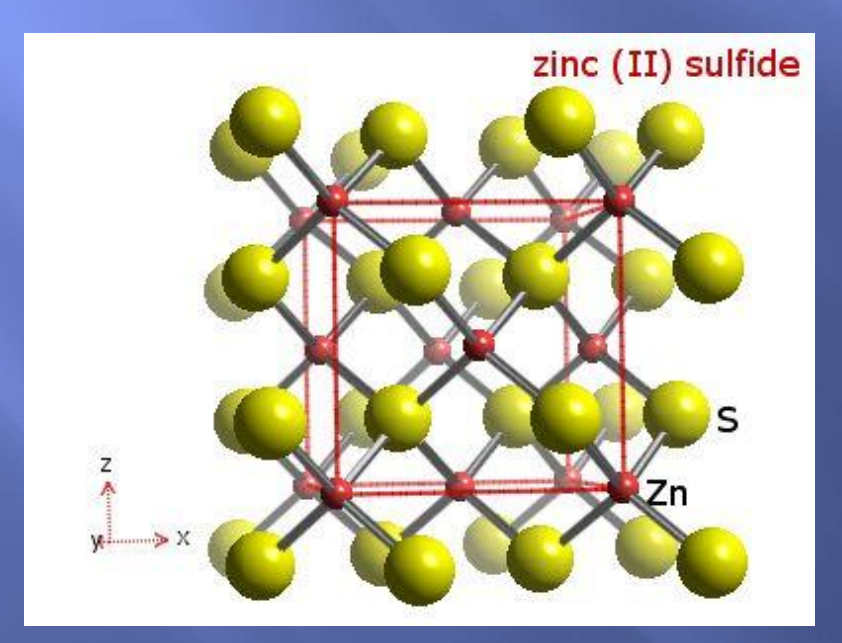




Структура фаз Цинтля: CaGa<sub>2</sub> (слева) и CaSi<sub>2</sub> (справа)

# Валентные соединения Структурные типы вюрцита и сфалерита: наиболее распростаненный вариант для немолекулярных валентных фаз со стехиометрией $A_1B_1$

Структурный тип сфалерита





Структурный тип вюрцита

Характерны для ZnS, ZnO, CdS, CdSe, GaAs, InSb, AlP (A<sup>II</sup>B<sup>VI</sup>, A<sup>III</sup>B<sup>V</sup>)

# Классические валентные соединения в немолекулярных структурах Примитивные правила устойчивости структурного типа для ионно-ковалентных структур

#### Правило октета

Число валентных электронов в формульной единице должно быть кратно 8



CaF<sub>2</sub>: 1\*2+2\*7=16 FeS: 1\*2+1\*6=8

### Правило Гримма-Зоммерфельда

Отношение числа валентных электронов к числу атомов в формульной единице должно быть равно 4

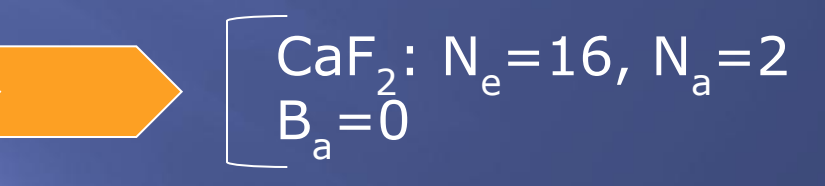


FeS:  $N_e=8$ , m=2 $N_e/m=4$ 

# Более универсальное правило устойчивости структурного типа для ионно-ковалентных структур

### Правило Музера-Пирсона

$$\frac{N_e}{N_a} + B_a = 8$$



#### где:

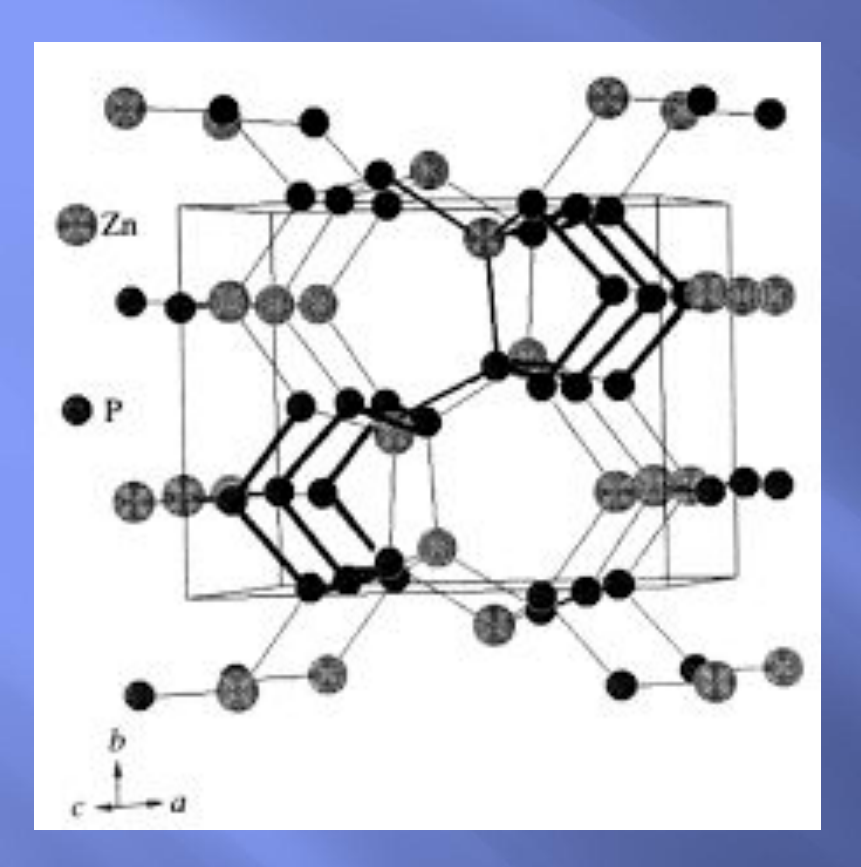
 $N_{\rm e}$  — общее число валентных элнов в формульной единице

 $N_a$  — общее число анионов в формульной единице

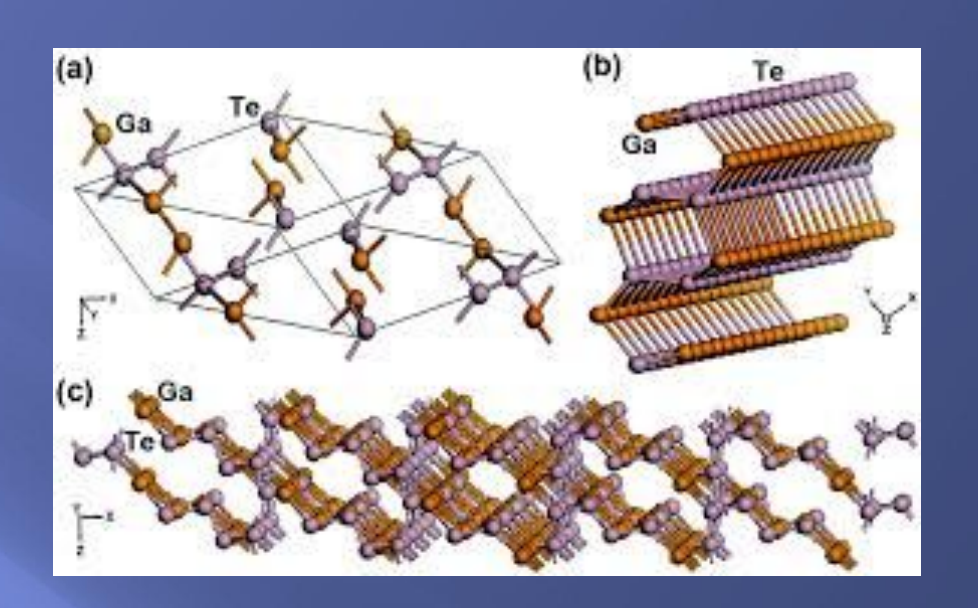
 $B_a$  — число связей между атомами катионов (при  $B_a$  < 0  $|B_a|$  указывает число катион-катионных связей)

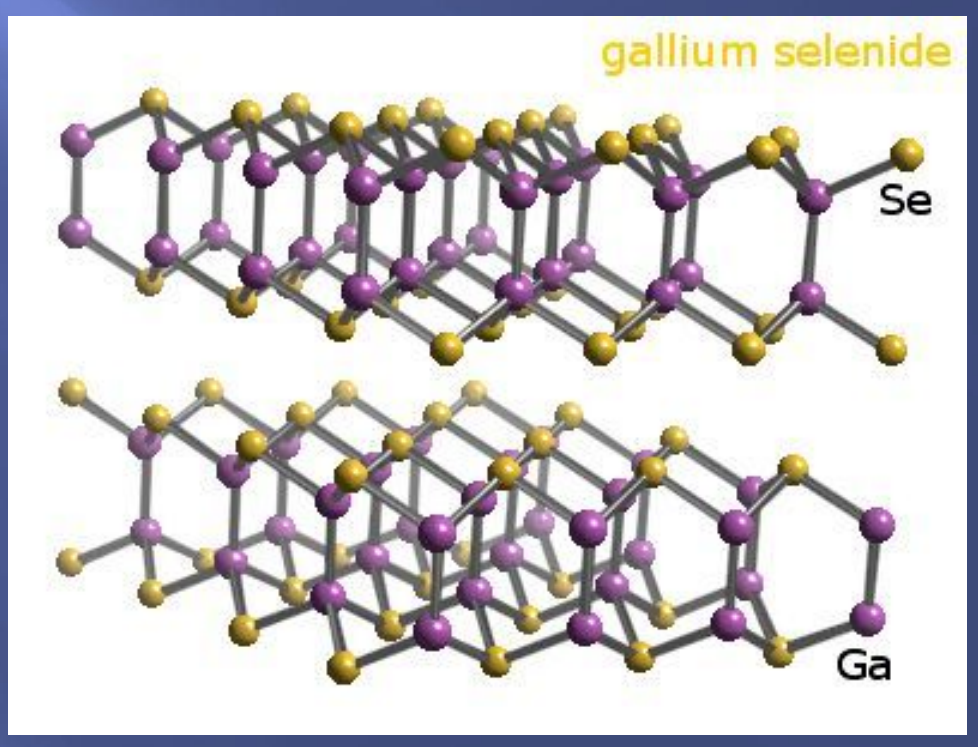
$$ZnP_2$$
:  $N_e = 12$ ,  $N_a = 2$   $B_a = 2$  (2 связи P-P)

GeAs: N<sub>e</sub>=9, N<sub>a</sub>=1 B<sub>a</sub>=-1 (1 связь Ge-Ge)



Примеры структур с "анион-анионными" (слева: ZnP<sub>2</sub> с P-P связями) и "катион-катионными" связями (справа: GaTe, GaSe со связями Ga-Ga).





# Генезис различных фаз по типу усложнения химического взаимодействия:

Расслоение→Эвтектика→Ограниченные тв. р-ры → неограниченный ряд твердых растворов → Соединенрия Курнакова→Фазы Лавеса→ Фазы внедрения (Хэгга)→ Соединения Юм-**Розери**→Интеркалированные соединения — Фазы Цинтля — Валентные соединения — Соединения высших порядков (комплексные соединения)